

## Capitolo 10. Proprietà dei sistemi rigidi

### 42. Momenti d'inerzia ed ellissoide d'inerzia

**42.1. Introduzione.** Abbiamo visto nel capitolo precedente, precisamente nel paragrafo §40, le formule che, nel caso di sistemi rigidi, esprimono le leggi di variazione rispetto al tempo della quantità di moto e del momento angolare.

In particolare se consideriamo un sistema rigido non soggetto ad altri vincoli che non siano quelli di rigidità, allora le equazioni del moto sono date dalle equazioni (40.1), dove  $\mathbf{f}$  e  $\mathbf{n}$  rappresentano, rispettivamente, la risultante delle forze attive agenti sul sistema e il risultante dei momenti di tale forze (in altre parole per il calcolo di  $\mathbf{f}$  e di  $\mathbf{n}$  possiamo ignorare le forze vincolari): questo segue dal principio di d'Alembert.

Se al contrario il sistema rigido ha un punto fisso, occorre considerare in aggiunta la reazione vincolare che si genera nel punto fisso  $O$ , mentre il momento corrispondente a tale reazione rispetto al punto  $O$  è ovviamente nullo: le corrispondenti equazioni del moto sono date dalle equazioni (40.11). Ci si riferisce a tale situazione talvolta, un po' impropriamente, come a un sistema rigido "libero con un punto fisso".

Si noti che in entrambi i casi la legge di variazione del momento angolare è la stessa.

Nel presente capitolo considereremo in grande dettaglio il caso di un sistema rigido non soggetto a forze.

Abbiamo visto che un sistema rigido è un sistema a 6 gradi di libertà, e che il suo spazio delle configurazioni è dato da  $\mathbb{R}^3 \times \text{SO}(3)$  (cfr. il teorema 36.4). È quindi naturale attendersi che molte proprietà del moto di un sistema rigido non dipendano dalla particolare forma che esso ha: questo può essere formalizzato introducendo la nozione di ellissoide d'inerzia.

**42.2. Notazioni.** Siano  $\kappa$  e  $K$  due sistemi di riferimento, il primo fisso e il secondo solidale con un sistema rigido che ruota intorno a un punto fisso  $O$ , che assumiamo coincidere con l'origine di entrambi i sistemi di riferimento (quindi nel sistema  $K$ , il sistema rigido è in quiete). Ogni vettore dello spazio  $K$  è trasformato in un vettore dello spazio  $\kappa$  da un operatore  $B \equiv B_t$ . I vettori corrispondenti negli spazi  $K$  e  $\kappa$  saranno indicati con la stessa lettera, maiuscola per i vettori in  $K$  e minuscola per i vettori in  $\kappa$ .

L'operatore  $B$  conserva la metrica e l'orientazione, quindi conserva anche il prodotto scalare  $\langle \cdot, \cdot \rangle$  e il prodotto vettoriale  $[\cdot, \cdot]$ .

344 CAPITOLO 10. PROPRIETÀ DEI SISTEMI RIGIDI

Per definizione di velocità angolare e di momento angolare di un punto di massa  $m$  rispetto al punto fisso  $O$ , si ha (cfr. la (37.1) o la (37.17) con  $N = 1$ )

$$\mathbf{l} = m [\mathbf{q}, \dot{\mathbf{q}}] = m [\mathbf{q}, [\boldsymbol{\omega}, \mathbf{q}]], \quad \mathbf{L} = m [\mathbf{Q}, [\boldsymbol{\Omega}, \mathbf{Q}]], \quad (42.1)$$

se  $\mathbf{l}$  è il momento angolare e  $\mathbf{l} = B\mathbf{L}$  (la relazione tra  $\mathbf{q}$  e  $\mathbf{Q}$  è data  $\mathbf{q} \equiv \mathbf{q} - \mathbf{q}_O = B\mathbf{Q}$ ). Dalla (42.1) segue l'esistenza di un operatore lineare  $A: K \rightarrow K$ , che trasforma  $\boldsymbol{\Omega}$  in  $\mathbf{L}$ ,

$$A\boldsymbol{\Omega} = \mathbf{L}, \quad (42.2)$$

che prende il nome di *operatore d'inerzia* (del punto mobile).

**42.3. LEMMA.** *L'operatore d'inerzia è simmetrico e definito positivo, i.e., fissata una qualsiasi base in  $\mathbb{R}^3$ , esso è rappresentato da una matrice simmetrica definita positiva.*

**42.4. Dimostrazione del lemma 42.3.** Per ogni  $\mathbf{X}, \mathbf{Y} \in K$ , abbiamo, applicando due volte la (37.7),

$$\langle \mathbf{X}, A\mathbf{Y} \rangle = m \langle \mathbf{X}, [\mathbf{Q}, [\mathbf{Y}, \mathbf{Q}]] \rangle = m \langle [\mathbf{X}, \mathbf{Q}], [\mathbf{Y}, \mathbf{Q}] \rangle, \quad (42.3)$$

che è un'espressione simmetrica in  $\mathbf{X}$  e  $\mathbf{Y}$ . In particolare, se scegliamo  $\mathbf{X} = \mathbf{Y}$ , la (42.3) dà  $\langle \mathbf{X}, A\mathbf{X} \rangle = m|[\mathbf{X}, \mathbf{Q}]|^2 \geq 0$ . ■

**42.5.** La (42.2) si può esprimere nello spazio  $\kappa$

$$a\boldsymbol{\omega} = \mathbf{l}, \quad a = BAB^T, \quad (42.4)$$

così che, dalla (42.1) e dalla (42.4), segue che, fissato un sistema di coordinate cartesiane, l'operatore  $a$  può essere rappresentato attraverso la matrice di elementi

$$a_{ij} = m(|\mathbf{q}|^2\delta_{ij} - q_iq_j), \quad (42.5)$$

come è immediato verificare calcolando esplicitamente i prodotti vettoriali in (42.1); cfr. l'esercizio 1. Analogamente, nello spazio  $K$ , si ha

$$A_{ij} = m(|\mathbf{Q}|^2\delta_{ij} - Q_iQ_j), \quad (42.6)$$

ovvero, più esplicitamente,

$$A = \begin{pmatrix} m(Q_2^2 + Q_3^2) & -mQ_1Q_2 & -mQ_1Q_3 \\ -mQ_1Q_2 & m(Q_1^2 + Q_3^2) & -mQ_2Q_3 \\ -mQ_1Q_3 & -mQ_2Q_3 & m(Q_1^2 + Q_2^2) \end{pmatrix}. \quad (42.7)$$

Dalla (42.6) risulta evidente che  $A$  è una costante del moto; infatti dipende solo dalle coordinate  $\mathbf{Q}$  del punto materiale di massa  $m$  nel sistema  $K$  in cui esso è fisso.

**42.6. LEMMA.** *L'energia cinetica di un punto di un sistema rigido, nel sistema di riferimento solidale con esso, è data da*

$$T = \frac{1}{2} \langle \boldsymbol{\Omega}, A\boldsymbol{\Omega} \rangle. \quad (42.8)$$

dove  $A$  è l'operatore d'inerzia e  $\boldsymbol{\Omega}$  il vettore velocità angolare nel sistema  $K$  solidale con il sistema rigido.

**42.7. Dimostrazione del lemma 42.6.** Dal corollario 37.6 con  $N = 1$  e  $\mathbf{q}_O = \mathbf{0}$ , dalla prima delle (42.1) e dalla (42.4) segue che

$$T = \frac{1}{2} m |\mathbf{v}|^2 = \frac{1}{2} \langle \boldsymbol{\omega}, a\boldsymbol{\omega} \rangle, \quad \mathbf{v} = \dot{\mathbf{q}}. \quad (42.9)$$

L'operatore  $B$  e il prodotto scalare conservano la metrica, quindi la (42.9) è equivalente alla (42.8). Alternativamente, poiché  $\mathbf{v} = B\mathbf{V} = [\boldsymbol{\omega}, \mathbf{q}]$  e  $|\mathbf{V}|^2 = \langle [\boldsymbol{\Omega}, \mathbf{Q}], [\boldsymbol{\Omega}, \mathbf{Q}] \rangle = \langle \boldsymbol{\Omega}, [\mathbf{Q}, [\boldsymbol{\Omega}, \mathbf{Q}]] \rangle$ , la (42.8) segue dalle (42.2) e dalla definizione di energia cinetica  $T = m |\mathbf{v}|^2 / 2 = m |\mathbf{V}|^2 / 2$ . ■

**42.8.** Finora abbiamo considerato un unico punto materiale: se abbiamo un sistema rigido costituito da  $N$  punti materiali  $P_1, \dots, P_N$ , di masse, rispettivamente,  $m_1, \dots, m_N$ , e  $\mathbf{Q}_1, \dots, \mathbf{Q}_N$  sono i vettori che li individuano nel sistema di riferimento solidale con il sistema rigido, possiamo introdurre per ciascuno di essi il momento angolare  $\mathbf{L}_i = m_i [\mathbf{Q}_i, [\boldsymbol{\Omega}, \mathbf{Q}_i]]$  e definire il momento angolare totale del sistema come

$$\mathbf{L} = \sum_{i=1}^N \mathbf{L}_i = \sum_{i=1}^N m_i [\mathbf{Q}_i, [\boldsymbol{\Omega}, \mathbf{Q}_i]]; \quad (42.10)$$

analogamente possiamo definire

$$\mathbf{l} = \sum_{i=1}^N \mathbf{l}_i = \sum_{i=1}^N m_i [\mathbf{q}_i, [\boldsymbol{\omega}, \mathbf{q}_i]], \quad (42.11)$$

con ovvio significato dei simboli, nel sistema di riferimento fisso; cfr. il paragrafo §37.

**42.9. TEOREMA.** *Dato un sistema rigido costituito da  $N$  punti materiali di masse  $m_1, \dots, m_N$ , il momento angolare  $\mathbf{L}$  di tale sistema rispetto all'origine  $O$  del sistema solidale con esso dipende linearmente dalla velocità angolare, i.e. esiste un operatore  $I: K \rightarrow K$ , tale che*

$$I\boldsymbol{\Omega} = \mathbf{L}; \quad (42.12)$$

inoltre l'operatore  $I$  è simmetrico e definito positivo.

Conseguentemente l'energia cinetica del sistema rigido, nel sistema di riferimento solidale con esso, è data da

$$T = \frac{1}{2} \langle \boldsymbol{\Omega}, I \boldsymbol{\Omega} \rangle = \frac{1}{2} \langle \boldsymbol{\Omega}, \mathbf{L} \rangle \quad (42.13)$$

ed è quindi una forma quadratica definita positiva nella velocità angolare  $\boldsymbol{\Omega}$ . L'operatore  $I$  prende il nome di operatore d'inerzia (del sistema rigido).

**42.10.** *Dimostrazione del teorema 42.9.* Per definizione il momento angolare di un sistema rigido costituito da  $N$  punti è dato dalla somma dei momenti della quantità di moto dei suoi punti (cfr. il paragrafo §42.8). Quindi

$$\mathbf{L} = \sum_{i=1}^N \mathbf{L}_i = \sum_{i=1}^N A_i \boldsymbol{\Omega} \equiv I \boldsymbol{\Omega}, \quad (42.14)$$

avendo definito  $I = \sum_{i=1}^N A_i$  l'operatore d'inerzia del sistema rigido, se  $A_i$  è l'operatore d'inerzia del punto  $P_i$ . La (42.14) implica la (42.12). Per il lemma 42.3,  $I$  è simmetrico e definito positivo.

Poiché anche l'energia cinetica del sistema rigido è data dalla somma delle energie cinetiche dei suoi punti, segue anche la (42.13). Poiché  $I$  è definito positivo,  $T$  è definita positiva. ■

**42.11.** *Osservazione.* Se il sistema rigido ha un punto fisso, l'operatore d'inerzia nel sistema di riferimento fisso  $\kappa$  è dato da

$$i \equiv i(t) = \sum_{i=1}^N a_i(t) = B_t I B_t^T, \quad (42.15)$$

dove  $a_i(t) = B_t A_i B_t^T$ ; quindi, contrariamente a  $I$ ,  $i(t)$  è funzione del tempo (come segue dalla (42.5)). Nel sistema  $\kappa$ , l'energia cinetica  $T$  assume la forma  $2T = \langle \boldsymbol{\omega}, i \boldsymbol{\omega} \rangle \equiv \langle \boldsymbol{\omega}(t), i(t) \boldsymbol{\omega}(t) \rangle$ .

**42.12.** DEFINIZIONE (ASSI D'INERZIA E MOMENTI PRINCIPALI D'INERZIA). *Chiameremo assi d'inerzia gli autovettori dell'operatore d'inerzia  $I$  e momenti principali d'inerzia gli autovalori corrispondenti.*

**42.13.** *Osservazione.* Si noti che l'operatore  $I$ , essendo simmetrico, ammette tre autovalori reali e autovettori ortogonali  $\{\mathbf{e}_1, \mathbf{e}_2, \mathbf{e}_3\}$  (cfr. gli esercizi 6÷10 del capitolo 1). Se gli autovalori non sono tutti distinti, gli assi d'inerzia non sono determinati in modo univoco. Poiché  $I$  è positivo, i suoi autovalori sono positivi (cfr. l'esercizio 2).

**42.14.** *Osservazione.* La (42.13) si può scrivere

$$T = \frac{1}{2} (I_1 \Omega_1^2 + I_2 \Omega_2^2 + I_3 \Omega_3^2), \quad (42.16)$$

se  $\boldsymbol{\Omega} = (\Omega_1, \Omega_2, \Omega_3)$  è decomposta lungo le direzioni degli assi d'inerzia. Infatti, scrivendo  $\boldsymbol{\Omega} = \Omega_1 \mathbf{e}_1 + \Omega_2 \mathbf{e}_2 + \Omega_3 \mathbf{e}_3$ , si ha  $I\boldsymbol{\Omega} = I_1 \Omega_1 \mathbf{e}_1 + I_2 \Omega_2 \mathbf{e}_2 + I_3 \Omega_3 \mathbf{e}_3$  e, tenendo conto che  $\langle \mathbf{e}_i, \mathbf{e}_j \rangle = \delta_{ij}$ , segue immediatamente la (42.16).

**42.15. Osservazione.** Se indichiamo con  $\mathbf{Q}$  le coordinate nella base degli assi d'inerzia, si ha

$$\begin{aligned} I_1 &= \sum_{i=1}^N m_i (Q_{i2}^2 + Q_{i3}^2), \\ I_2 &= \sum_{i=1}^N m_i (Q_{i1}^2 + Q_{i3}^2), \\ I_3 &= \sum_{i=1}^N m_i (Q_{i1}^2 + Q_{i2}^2), \end{aligned} \quad (42.17)$$

come segue dalla (42.7) e dalla considerazione che nella base degli assi d'inerzia la matrice che rappresenta l'operatore d'inerzia è diagonale.

**42.16. DEFINIZIONE (MOMENTO D'INERZIA).** Dato un sistema rigido costituito da  $N$  punti materiali  $P_1, \dots, P_N$  e dato un asse  $\mathbf{e}$ , indichiamo con  $r_i$  la distanza del punto  $P_i$  da  $\mathbf{e}$ , per  $i = 1, \dots, N$ . Definiamo momento d'inerzia del sistema rigido rispetto all'asse  $\mathbf{e}$  la grandezza

$$I_{\mathbf{e}} = \sum_{i=1}^N m_i r_i^2, \quad (42.18)$$

dove  $m_i$  è la massa del punto  $P_i$ .

**42.17. COROLLARIO.** Gli autovalori  $I_1, I_2, I_3$  dell'operatore d'inerzia  $I$  sono i momenti d'inerzia del sistema rispetto agli assi d'inerzia.

**42.18. Dimostrazione del corollario 42.17.** Segue dalle definizioni 42.12 e 42.16, non appena si tenga conto della forma della matrice (42.7) e del fatto che, nella base degli autovettori, la matrice che rappresenta l'operatore d'inerzia  $I = \sum_{i=1}^N A_i$  è una matrice diagonale (cfr. l'osservazione 42.15). ■

**42.19. Osservazione.** L'energia cinetica di un sistema rigido vincolato a un punto  $O$ , che ruota con velocità angolare  $\boldsymbol{\Omega} = \Omega \mathbf{e}$  (dove  $\Omega = |\boldsymbol{\Omega}|$ ) intorno all'asse  $\mathbf{e}$  è data da

$$T = \frac{1}{2} I_{\mathbf{e}} \Omega^2, \quad (42.19)$$

con le notazioni del paragrafo §42.16. Infatti, scegliendo un sistema di coordinate in cui  $\mathbf{e}$  abbia componenti  $(0, 0, 1)$ , si ha  $\langle \mathbf{e}, A_i \mathbf{e} \rangle = A_{i33} = m_i (Q_{i1}^2 + Q_{i2}^2) = m_i r_i^2$ , se  $m_i$  è la massa del punto  $P_i$  e  $r_i$  è la sua distanza dall'asse verticale (coincidente con

$\mathbf{e}$ ). Quindi  $2T = \langle \Omega \mathbf{e}, I \Omega \mathbf{e} \rangle = \Omega^2 \langle \mathbf{e}, I \mathbf{e} \rangle = \Omega^2 \sum_{i=1}^N \langle \mathbf{e}, A_i \mathbf{e} \rangle = \Omega^2 I_{\mathbf{e}}$ , in virtù della (42.18).

**42.20.** DEFINIZIONE (ELLISSOIDE D'INERZIA). *Si definisce ellissoide d'inerzia l'ellissoide*

$$\mathcal{E} = \{ \boldsymbol{\Omega} : \langle \boldsymbol{\Omega}, I \boldsymbol{\Omega} \rangle = 1 \}. \quad (42.20)$$

*Nella base degli assi d'inerzia, l'ellissoide  $\mathcal{E}$  ha la forma*

$$I_1 \Omega_1^2 + I_2 \Omega_2^2 + I_3 \Omega_3^2 = 1; \quad (42.21)$$

*quindi gli assi dell'ellissoide d'inerzia sono diretti lungo gli assi d'inerzia e la loro lunghezza è due volte  $1/\sqrt{I_j}$ ,  $j = 1, 2, 3$ . Se l'ellissoide d'inerzia è invariante per rotazioni intorno a uno degli assi d'inerzia, e.g.  $\mathbf{e}_3$  (quindi  $I_1 = I_2$ ), diremo che è un ellissoide di rotazione.*

**42.21.** *Osservazione.* Se un sistema rigido è schiacciato lungo un qualsiasi asse, allora il momento d'inerzia rispetto a tale asse sarà piccolo (cfr. il paragrafo §42.16), quindi anche l'ellissoide d'inerzia sarà schiacciato lungo lo stesso asse.

**42.22. Proprietà degli ellipsoidi d'inerzia.** Se un sistema rigido possiede un asse di simmetria di ordine  $n$  passante per il punto fisso  $O$  (i.e. il sistema rigido si sovrappone a sé stesso in seguito a una rotazione di  $2\pi/n$  intorno all'asse), allora l'ellissoide d'inerzia possiede la stessa simmetria rispetto a quell'asse.

Se  $\mathbf{e}$  è un asse di simmetria di ordine  $n$  per ogni  $n \geq 1$  allora diremo che  $\mathbf{e}$  è un *asse di simmetria rotazionale*.

Gli assi d'inerzia costituiscono ovviamente assi di simmetria di ordine 2 per l'ellissoide d'inerzia; viceversa se un ellissoide d'inerzia ammette un asse  $\mathbf{e}$  di simmetria di ordine 2 allora  $\mathbf{e}$  deve essere un suo asse d'inerzia (cfr. l'esercizio 3). Inoltre un ellissoide d'inerzia non può avere assi di simmetria di ordine  $n > 2$  che non siano assi di simmetria rotazionale (cfr. l'esercizio 4): in tal caso l'ellissoide d'inerzia è un ellissoide di rotazione.

Se allora un sistema rigido ammette un asse di simmetria di ordine 2, tale asse deve essere anche un asse di simmetria di ordine 2 per il corrispondente ellissoide d'inerzia, e quindi deve essere un asse d'inerzia.

Se un sistema rigido ammette un asse  $\mathbf{e}$  di simmetria di ordine  $n > 2$ , allora tale asse è *a fortiori* un asse di simmetria di ordine  $n$  per l'ellissoide d'inerzia. Ma, poiché abbiamo visto che un ellissoide d'inerzia può avere assi di simmetria di ordine  $n > 2$  solo se è un ellissoide di rotazione, ne segue che in tal caso  $\mathbf{e}$  deve essere un asse d'inerzia dell'ellissoide: più precisamente uno degli assi d'inerzia dell'ellissoide sarà diretto lungo  $\mathbf{e}$ , mentre gli altri due saranno due assi perpendicolari (ma per il resto arbitrari) contenuti nel piano ortogonale a  $\mathbf{e}$ .

Se un sistema rigido ammette due assi di simmetria di ordine  $n > 2$  distinti, allora l'ellissoide d'inerzia deve essere una sfera (cfr. l'esercizio 5). Se infine un sistema

rigido ammette due assi di simmetria distinti  $\mathbf{e}_1$  ed  $\mathbf{e}_2$ , tali che (1) l'angolo tra i due assi sia diverso da  $\pi/2$  e (2) almeno uno dei due assi sia di simmetria di ordine  $n > 2$ , allora di nuovo l'ellissoide d'inerzia deve essere una sfera (cfr. l'esercizio 6).

**42.23. Osservazione.** Si noti che se  $\boldsymbol{\Omega}(t)$  è la velocità angolare del sistema rigido, allora dal confronto della (42.13) con la (42.19) si vede che  $\boldsymbol{\Omega}(t)/\sqrt{2T} \in \mathcal{E}$ . Il vettore  $\mathbf{L}(t)$  (momento angolare) per un sistema rigido che ruota con velocità angolare  $\boldsymbol{\Omega}(t)$  ha direzione normale alla superficie del suo ellissoide d'inerzia  $\mathcal{E}$  nel suo punto di intersezione con l'asse di  $\boldsymbol{\Omega}(t)$ , *i.e.* nel punto  $\boldsymbol{\Omega}(t)/\sqrt{2T}$ ; infatti la normale all'ellissoide  $\mathcal{E}$  nel punto  $\boldsymbol{\Omega}$  è diretta lungo il vettore  $\nabla \langle \boldsymbol{\Omega}, I\boldsymbol{\Omega} \rangle = 2I\boldsymbol{\Omega}$  (cfr. l'esercizio 7) e, se  $\boldsymbol{\Omega}(t)$  è la velocità angolare del sistema rigido, allora  $I\boldsymbol{\Omega}(t) = \mathbf{L}(t)$  (cfr. la (42.14)).

**42.24. Osservazione.** Se un sistema rigido ha un asse di simmetria rotazionale (*i.e.* è invariante per rotazioni intorno a un suo asse), allora possiamo determinare a priori le direzioni dei suoi assi d'inerzia. Infatti, dalla definizione di operatore d'inerzia (cfr. la (42.7) e il paragrafo §42.10), se scegliamo un sistema di coordinate in cui si abbia  $\mathbf{e} = (0, 0, 1)$  e definiamo

$$c_0 = \sum_{i=1}^N m_i (Q_{i1}^2 + Q_{i2}^2), \quad (42.22)$$

abbiamo che l'azione dell'operatore d'inerzia  $I$  sull'asse di simmetria  $\mathbf{e}$  dà  $I\mathbf{e} = c_0\mathbf{e}$ , come si può verificare immediatamente tenendo conto che, per simmetria, per ogni punto con coordinate  $(Q_1, Q_2, Q_3)$  ce n'è uno con coordinate  $(-Q_1, -Q_2, Q_3)$ . Quindi  $\mathbf{e}_3 \equiv \mathbf{e}$  è un asse d'inerzia e il momento principale d'inerzia associatogli è  $I_3 \equiv c_0$ . Inoltre  $\mathbf{e}_1$  ed  $\mathbf{e}_2$  sono perpendicolari a  $\mathbf{e}_3$ : per simmetria una qualsiasi scelta di due assi ortogonali tra loro e contenuti nel piano perpendicolare a  $\mathbf{e}_3$  e passante per il centro d'inerzia del sistema rigido è valida (cfr. l'osservazione 42.13).

**42.25. TEOREMA (HUYGENS-STEINER).** *Il momento d'inerzia  $I$  di un sistema rigido rispetto a un asse  $\mathbf{e}$  parallelo all'asse  $\mathbf{e}_0$  passante per il centro d'inerzia è legato al momento d'inerzia  $I_0$  rispetto all'asse  $\mathbf{e}_0$  dalla relazione*

$$I = I_0 + mr^2, \quad (42.23)$$

dove  $m$  è la massa del sistema e  $r$  la distanza tra i due assi  $\mathbf{e}_0$  ed  $\mathbf{e}$ .

**42.26. Dimostrazione del teorema 42.25.** Segue dalla definizione di momento d'inerzia (cfr. il paragrafo §42.16). Infatti risulta

$$I \equiv I_{\mathbf{e}} = \sum_{i=1}^N m_i r_i^2, \quad I_0 \equiv I_{\mathbf{e}_0} = \sum_{i=1}^N m_i (r_{0i})^2, \quad (42.24)$$

se  $r_i$  e  $r_{0i}$  denotano la distanza del punto  $P_i$ , rispettivamente, dall'asse  $\mathbf{e}$  e dall'asse  $\mathbf{e}_0$ .

Sia  $\pi$  un piano ortogonale ai due assi: ogni punto  $P_i$  sarà individuato da un vettore  $\mathbf{r}_i$  (di lunghezza  $r_i$ ), che ne definisce la distanza dall'asse  $\mathbf{e}$ , e da un vettore  $\mathbf{z}_i$ , che ne definisce la distanza dal piano  $\pi$ ; analogamente possiamo individuare tale punto dando i vettori  $\mathbf{r}_{0i}$  e  $\mathbf{z}_i$  che ne definiscono la distanza dall'asse  $\mathbf{e}_0$  e la distanza dal piano  $\pi$ , rispettivamente. Denotiamo con  $\mathbf{r}$  il vettore (di lunghezza  $r$ ) sul piano  $\pi$  che va dall'asse  $\mathbf{e}$  all'asse  $\mathbf{e}_0$ ; quindi, per ogni punto  $P_i$  si ha  $\mathbf{r}_i = \mathbf{r}_{0i} + \mathbf{r}$ . Cfr. la figura 42.1.

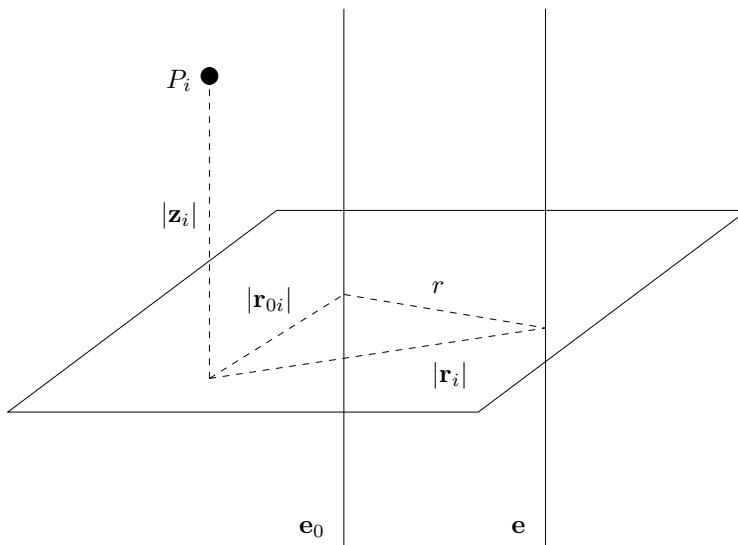


FIGURA 42.1. Discussione del teorema 42.25.

Possiamo quindi riscrivere  $I_{\mathbf{e}}$  in (42.23) come

$$I_{\mathbf{e}} = \sum_{i=1}^N m_i (|\mathbf{r}_{0i}|^2 + |\mathbf{r}_0|^2 + 2 \langle \mathbf{r}_{0i}, \mathbf{r} \rangle) = I_{\mathbf{e}_0} + mr^2, \quad (42.25)$$

poiché, per definizione di centro d'inerzia, il terzo termine della somma è nullo. ■

**42.27. Sistemi continui.** Possiamo considerare un sistema continuo  $\mathcal{C}$  di densità (di massa)  $\rho(\mathbf{Q})$  come limite per  $\Delta\mathbf{Q} \rightarrow 0$  di una successione di sistemi rigidi formati da un numero finito di punti  $\mathbf{Q}_i$ , di massa  $\rho(\mathbf{Q}_i)\Delta\mathbf{Q}$ . Definiremo allora il momento d'inerzia di un sistema continuo rispetto a un asse  $\mathbf{e}$  come la grandezza (cfr. la definizione 42.16)

$$I_{\mathbf{e}} = \int_{\mathcal{C}} d\mathbf{Q} \rho(\mathbf{Q}) r^2(\mathbf{Q}), \quad (42.26)$$

dove  $r(\mathbf{Q})$  è la distanza del punto di coordinate  $\mathbf{Q}$  dall'asse  $\mathbf{e}$ . Tutti i risultati validi per i sistemi discreti possono essere trasferiti al caso dei sistemi continui. Ovviamente anche la definizione di centro di massa va cambiata di conseguenza (cfr. l'esercizio 8).

**42.28.** ESEMPIO. I momenti principali d'inerzia del sistema costituito da due punti di massa  $m$  e distanza  $d$  sono (cfr. l'esercizio 9)

$$I_1 = I_2 = \frac{1}{2} md^2, \quad I_3 = 0, \quad (42.27)$$

e gli assi d'inerzia individuano una terna con origine il centro d'inerzia del sistema, con  $\mathbf{e}_3$  diretto lungo la retta passante per i due punti ed  $\mathbf{e}_1, \mathbf{e}_2$  nel piano perpendicolare a tale retta. Cfr. la figura 42.2.

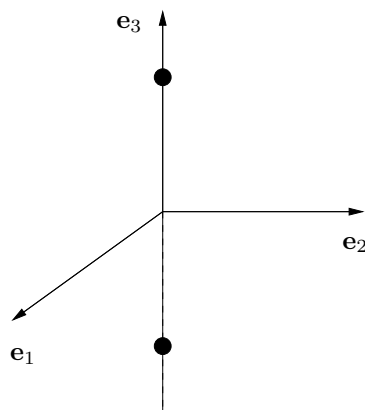


FIGURA 42.2. Assi d'inerzia di un sistema costituito da due punti materiali.

Si noti che  $\mathbf{e}_1$  ed  $\mathbf{e}_2$  non sono univocamente determinati (cfr. le osservazioni 42.11 e 42.20): scelta una coppia di versori ortogonali tra loro e a  $\mathbf{e}_3$ , due versori che si ottengono da quelli dati con una rotazione arbitraria intorno a  $\mathbf{e}_3$  costituiscono una scelta altrettanto valida.

**42.29.** ESEMPIO. I momenti principali d'inerzia di un'asta omogenea di sezione trascurabile, di massa  $m$  e di lunghezza  $\ell$  (densità lineare  $\lambda = m/\ell$ ) sono (cfr. l'esercizio 10)

$$I_1 = I_2 = \frac{1}{12} m\ell^2, \quad I_3 = 0, \quad (42.28)$$

e gli assi d'inerzia individuano una terna con origine il centro d'inerzia del sistema, con  $\mathbf{e}_3$  diretto lungo l'asta ed  $\mathbf{e}_1, \mathbf{e}_2$  perpendicolari all'asta. Cfr. la figura 42.3.

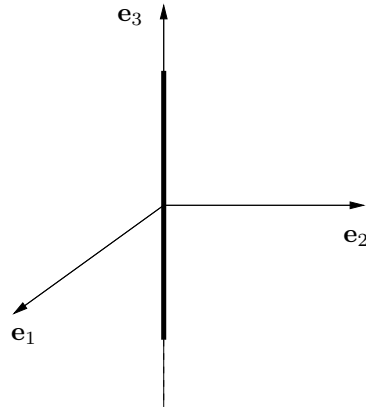


FIGURA 42.3. Assi d'inerzia di un'asta omogenea.

Il momento d'inerzia rispetto a un asse  $\mathbf{e}$  pasante per un estremo e perpendicolare alla sbarra è  $I_{\mathbf{e}} = m\ell^2/3$ .

**42.30. ESEMPIO.** I momenti principali d'inerzia di un anello sottile di massa  $m$  e raggio  $r$  (densità lineare  $\lambda = m/(2\pi r)$ ) sono (cfr. l'esercizio 11)

$$I_1 = I_2 = \frac{1}{2}mr^2, \quad I_3 = mr^2, \quad (42.29)$$

e gli assi d'inerzia individuano una terna con origine il centro d'inerzia del sistema, con  $\mathbf{e}_3$  perpendicolare al piano dell'anello ed  $\mathbf{e}_1, \mathbf{e}_2$  contenuti in tale piano. Cfr. la figura 42.4.

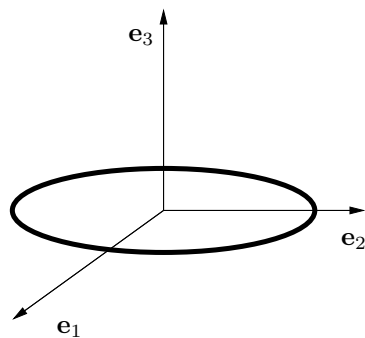


FIGURA 42.4. Assi d'inerzia di un anello sottile.

**42.31. ESEMPIO.** I momenti principali d'inerzia di un disco sottile di massa  $m$  e

raggio  $r$  (densità superficiale  $\sigma = m/(\pi r^2)$ ) sono (cfr. l'esercizio 12)

$$I_1 = I_2 = \frac{1}{4} mr^2, \quad I_3 = \frac{1}{2} mr^2, \quad (42.30)$$

e gli assi d'inerzia individuano una terna con origine il centro d'inerzia del sistema, con  $\mathbf{e}_3$  perpendicolare al piano del disco ed  $\mathbf{e}_1, \mathbf{e}_2$  contenuti in tale piano. Cfr. la figura 42.5.

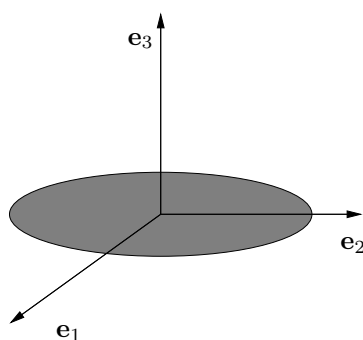


FIGURA 42.5. Assi d'inerzia di un disco sottile.

**42.32. ESEMPIO.** I momenti principali d'inerzia di un anello di massa  $m$ , raggio esterno  $b$  e raggio interno  $a \leq b$  (densità superficiale  $\sigma = m/[\pi(b^2 - a^2)]$ ) sono (cfr. l'esercizio 13)

$$I_1 = I_2 = \frac{1}{4} m(a^2 + b^2), \quad I_3 = \frac{1}{2} m(a^2 + b^2), \quad (42.31)$$

e gli assi d'inerzia individuano una terna con origine il centro d'inerzia del sistema, con  $\mathbf{e}_3$  perpendicolare al piano dell'anello ed  $\mathbf{e}_1, \mathbf{e}_2$  contenuti in tale piano. Cfr. la figura 42.6.

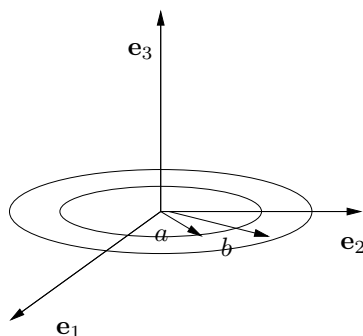


FIGURA 42.6. Assi d'inerzia di un anello.

Si noti che, per  $a = b$ , ritroviamo l'anello sottile dell'esempio 42.30, con raggio  $r = a = b$ , mentre, per  $a = 0$ , ritroviamo il disco sottile dell'esempio 42.31, con raggio  $r = b$ .

**42.33. ESEMPIO.** I momenti principali d'inerzia di un cilindro (circolare retto) di massa  $m$ , raggio  $r$  e altezza  $h$  (densità di volume  $\rho = m/(\pi r^2 h)$ ) sono (cfr. l'esercizio 14)

$$I_1 = I_2 = \frac{1}{12} m(3r^2 + h^2), \quad I_3 = \frac{1}{2} mr^2, \quad (42.32)$$

e gli assi d'inerzia individuano una terna con origine il centro d'inerzia del sistema, con  $\mathbf{e}_3$  diretto lungo l'asse del cilindro ed  $\mathbf{e}_1, \mathbf{e}_2$  perpendicolari a tale asse. Cfr. la figura 42.7.

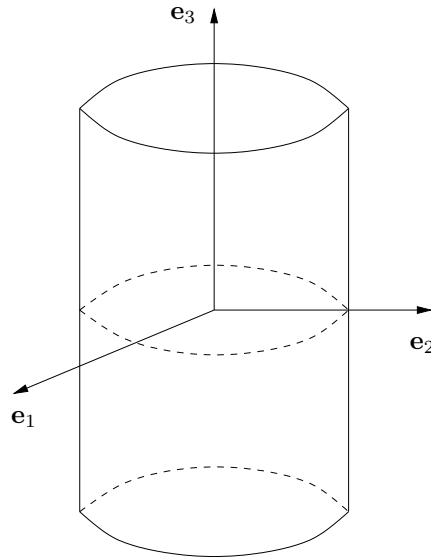


FIGURA 42.7. Assi d'inerzia di un cilindro.

Si noti che per  $r \rightarrow 0$  si ottiene l'asta dell'esempio 42.29, mentre per  $h \rightarrow 0$  si ottiene il disco dell'esempio 42.31. Il momento d'inerzia rispetto a un asse  $\mathbf{e}$  passante per un diametro di una base del cilindro è  $I_{\mathbf{e}} = m(h^2/3 + r^2/4)$ ; cfr. l'esercizio 15.

**42.34. ESEMPIO.** I momenti principali d'inerzia di una sfera di massa  $m$  e raggio  $r$  (densità di volume  $\rho = 3m/(4\pi r^3)$ ) sono (cfr. l'esercizio 16)

$$I_1 = I_2 = I_3 = \frac{2}{5} mr^2, \quad (42.33)$$

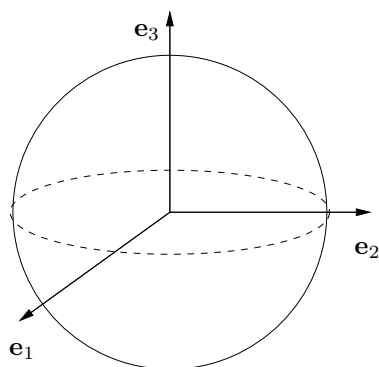


FIGURA 42.8. Assi d'inerzia di una sfera.

e gli assi d'inerzia individuano una terna con origine il centro d'inerzia del sistema, con  $\mathbf{e}_1, \mathbf{e}_2, \mathbf{e}_3$  arbitrari (purché ortogonali tra loro). Cfr. la figura 42.8.

Il momento d'inerzia rispetto a un asse  $\mathbf{e}$  tangente alla superficie è  $I_{\mathbf{e}} = 7mr^2/5$ ; cfr. l'esercizio 17.

**42.35. ESEMPIO.** I momenti principali d'inerzia di una lamina rettangolare di massa  $m$ , e lati di lunghezza  $a$  e  $b$  (densità superficiale  $\sigma = m/(ab)$ ) sono (cfr. l'esercizio 18)

$$I_1 = \frac{1}{12} ma^2, \quad I_2 = \frac{1}{12} mb^2, \quad I_3 = \frac{1}{12} m(a^2 + b^2), \quad (42.34)$$

e gli assi d'inerzia individuano una terna con origine il centro d'inerzia del sistema, con  $\mathbf{e}_3$  perpendicolare al piano della lamina,  $\mathbf{e}_1$  parallelo al lato di lunghezza  $b$  ed  $\mathbf{e}_2$  parallelo al lato di lunghezza  $a$  (come si può ricavare con argomenti di simmetria analoghi a quelli discussi nel paragrafo §42.24). Cfr. la figura 42.9.

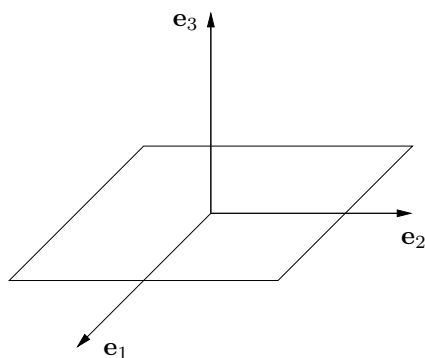


FIGURA 42.9. Assi d'inerzia di una lamina rettangolare.

**42.36. ESEMPIO.** I momenti principali d'inerzia di un cono (circolare retto) di massa  $m$ , raggio  $r$  e altezza  $h$  (densità di volume  $\rho = 3m/(\pi r^2 h)$ ) sono (cfr. l'esercizio 19)

$$I_1 = I_2 = \frac{3}{80} m(4r^2 + h^2), \quad I_3 = \frac{3}{10} mr^2, \quad (42.35)$$

e gli assi d'inerzia individuano una terna con origine il centro d'inerzia del sistema (che si trova lungo l'asse del cono a distanza  $3h/4$  dal vertice), con  $\mathbf{e}_3$  diretto lungo l'asse del cono ed  $\mathbf{e}_1, \mathbf{e}_2$  perpendicolari a tale asse. Cfr. la figura 42.10.

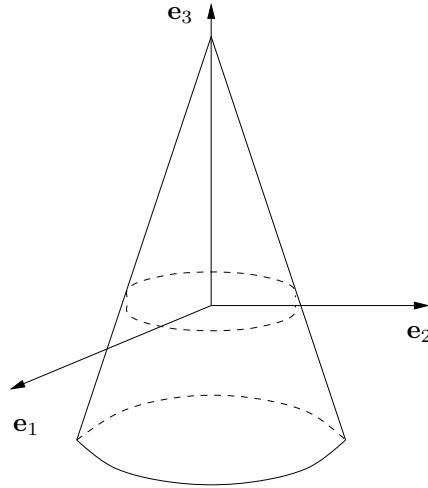


FIGURA 42.10. Assi d'inerzia di un cono.

Il momento d'inerzia rispetto a un asse  $\mathbf{e}$  e passante per il vertice e perpendicolare all'asse del cono  $\mathbf{e}_3$  è  $I_{\mathbf{e}} = 3m(h^2/5 + r^2/20)$ ; cfr. l'esercizio 20.

### 43. Angoli di Eulero

**43.1. Introduzione.** Consideriamo due sistemi di riferimento  $\kappa$  e  $K$ , il primo fisso e il secondo mobile, solidale con un sistema rigido che ruota intorno a un punto fisso di  $O \in \kappa$ . Scegliamo in  $\kappa$  una terna (destrogiro)  $\{\mathbf{e}_x, \mathbf{e}_y, \mathbf{e}_z\}$  tale che  $O$  sia l'origine nel sistema  $\kappa$ . Sia  $\{\mathbf{e}_1, \mathbf{e}_2, \mathbf{e}_3\}$  una terna (destrogiro) nel sistema mobile, tale che i suoi versori siano orientati lungo gli assi principali d'inerzia del sistema rigido per  $O$ . Supponiamo anche che i due assi  $\mathbf{e}_3$  ed  $\mathbf{e}_z$  non coincidano.

Si noti che i due sistemi di riferimento  $\kappa$  e  $K$  hanno la stessa origine e che il moto  $D_t: K \rightarrow \kappa$  è una rotazione  $B_t \equiv B$ .

Indichiamo con  $\mathbf{e}_N$  il versore dell'asse  $[\mathbf{e}_z, \mathbf{e}_3]$ ; poiché  $\mathbf{e}_z$  ed  $\mathbf{e}_3$  non coincidono, il versore  $\mathbf{e}_N$  è ben definito e appartiene al piano contenente i versori  $\mathbf{e}_x$  ed  $\mathbf{e}_y$ .

Per sovrapporre il sistema fisso  $\kappa$  al sistema mobile  $K$  si devono compiere tre rotazioni:

- (1) una rotazione di un angolo  $\varphi$  intorno all'asse  $\mathbf{e}_z$ , durante la quale  $\mathbf{e}_z$  rimane fisso ed  $\mathbf{e}_x$  si sovrappone a  $\mathbf{e}_N$ ;
- (2) una rotazione di un angolo  $\theta$  intorno all'asse  $\mathbf{e}_N$ , durante la quale  $\mathbf{e}_N$  rimane fisso ed  $\mathbf{e}_z$  si sovrappone a  $\mathbf{e}_3$ ;
- (3) una rotazione di un angolo  $\psi$  intorno all'asse  $\mathbf{e}_3$ , durante la quale  $\mathbf{e}_3$  rimane fisso ed  $\mathbf{e}_N$  si sovrappone a  $\mathbf{e}_1$ .

Come risultato delle tre rotazioni,  $\mathbf{e}_x$  si sovrappone a  $\mathbf{e}_1$  ed  $\mathbf{e}_z$  a  $\mathbf{e}_3$ ; di conseguenza  $\mathbf{e}_y$  si sovrappone a  $\mathbf{e}_2$ , essendo ciascuna terna un sistema di coordinate cartesiane destrogiro. Cfr. la figura 43.1.

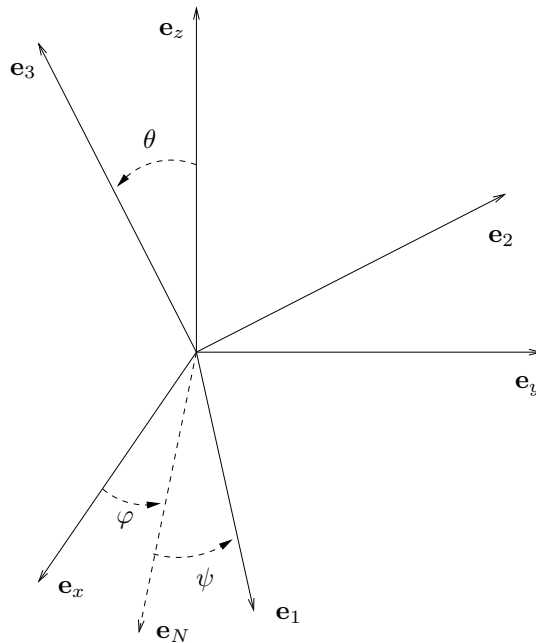


FIGURA 43.1. Angoli di Eulero.

Indichiamo con  $S^3(\varphi)$  la rotazione (1), con  $S^1(\theta)$  la rotazione (2), e con  $S^3(\psi)$  la rotazione (3); notiamo anche che si ha  $\theta \neq 0$ , poiché, per ipotesi, gli assi  $\mathbf{e}_3$  ed  $\mathbf{e}_z$  non coincidono.

Gli indici in alto 1 e 3 indicano che si tratta di rotazioni intorno al primo asse e, rispettivamente, al terzo asse di una terna, che è: per  $S^3(\varphi)$  la terna  $\{\mathbf{e}_x, \mathbf{e}_y, \mathbf{e}_z\}$ , per  $S^1(\theta)$  la terna ottenuta da  $\{\mathbf{e}_x, \mathbf{e}_y, \mathbf{e}_z\}$  attraverso la rotazione  $S^3(\varphi)$ , e per  $S^3(\psi)$  la terna ottenuta dalla precedente attraverso la rotazione  $S^1(\theta)$ . Questo vuol dire che, sebbene si tratti di rotazioni rispetto a terne diverse, tuttavia la rotazioni con lo stesso indice in alto hanno la stessa forma analitica nelle rispettive terne (cfr. l'osservazione 43.4 più avanti).

La rotazione totale è data dalla composizione delle tre rotazioni, quindi

$$S(\varphi, \theta, \psi) = S^3(\psi) S^1(\theta) S^3(\varphi). \quad (43.1)$$

**43.2. DEFINIZIONE (ANGOLI DI EULERO).** *Gli angoli  $(\varphi, \theta, \psi)$  costruiti nel paragrafo §43.1 si chiamano angoli di Eulero. Il versore  $\mathbf{e}_N$  nella direzione  $[\mathbf{e}_z, \mathbf{e}_3]$  prende il nome di asse dei nodi e la retta che lo contiene si dice linea dei nodi. L'angolo  $\varphi$  si chiama angolo di precessione (o angolo azimutale o semplicemente azimut), l'angolo  $\theta$  angolo di nutazione e l'angolo  $\psi$  angolo di rotazione propria.*

**43.3. Osservazione.** Gli angoli di Eulero formano in  $\text{SO}(3)$  un sistema locale di coordinate, con singolarità ai poli ( $\theta = 0$  e  $\theta = \pi$ ) e plurivocità ai meridiani (similmente a quanto accade alle coordinate geografiche). Gli intervalli di variabilità degli angoli di Eulero sono quindi

$$0 \leq \varphi < 2\pi, \quad 0 \leq \theta < \pi, \quad 0 \leq \psi < 2\pi, \quad (43.2)$$

e l'applicazione  $(\varphi, \theta, \psi) \rightarrow S(\varphi, \theta, \psi) \in \text{SO}(3)$  definisce una rotazione che trasporta il sistema di riferimento  $\kappa$  nel sistema di riferimento  $K$  solidale con il sistema rigido.

**43.4. Osservazione.** Per costruzione, se si tengono presenti le relazioni (33.33) e (33.36) del capitolo 8, si ha

$$S^3(\alpha) = \begin{pmatrix} \cos \alpha & \sin \alpha & 0 \\ -\sin \alpha & \cos \alpha & 0 \\ 0 & 0 & 1 \end{pmatrix}, \quad (43.3)$$

con  $\alpha = \varphi$ , o  $\alpha = \psi$ . Allo stesso modo la rotazione intorno al primo asse può essere rappresentata dalla matrice

$$S^1(\beta) = \begin{pmatrix} 1 & 0 & 0 \\ 0 & \cos \beta & \sin \beta \\ 0 & -\sin \beta & \cos \beta \end{pmatrix}, \quad (43.4)$$

con  $\beta = \theta$ ; cfr. l'esercizio 3 del capitolo 8 e si tenga conto della (33.33). La matrice che definisce la trasformazione di coordinate è data da

$$B(\varphi, \theta, \psi) = S^T(\varphi, \theta, \psi). \quad (43.5)$$

**43.5. Osservazione.** Non tutti i punti del dominio di variabilità degli angoli di Eulero dato dalla (43.2) individuano configurazioni distinte del sistema rigido; *e.g.*, per ogni  $\sigma \in \mathbb{R}$ , i punti  $(0, \varphi + \sigma, \psi - \sigma)$  corrispondono tutti alla stessa configurazione.

**43.6. Formule del cambiamento di base dal sistema solidale al sistema fisso.** Dalla (43.1) e dal lemma 36.20, ricaviamo che il cambiamento di base  $\{\mathbf{e}_1, \mathbf{e}_2, \mathbf{e}_3\} \rightarrow \{\mathbf{e}_x, \mathbf{e}_y, \mathbf{e}_z\}$  è definito dalla trasformazione

$$\begin{pmatrix} \mathbf{e}_x \\ \mathbf{e}_y \\ \mathbf{e}_z \end{pmatrix} = \begin{pmatrix} \cos \varphi & -\sin \varphi & 0 \\ \sin \varphi & \cos \varphi & 0 \\ 0 & 0 & 1 \end{pmatrix} \begin{pmatrix} 1 & 0 & 0 \\ 0 & \cos \theta & -\sin \theta \\ 0 & \sin \theta & \cos \theta \end{pmatrix} \begin{pmatrix} \cos \psi & -\sin \psi & 0 \\ \sin \psi & \cos \psi & 0 \\ 0 & 0 & 1 \end{pmatrix} \begin{pmatrix} \mathbf{e}_1 \\ \mathbf{e}_2 \\ \mathbf{e}_3 \end{pmatrix}, \quad (43.6)$$

(dove le “matrici colonna” devono essere interpretate come matrici  $3 \times 3$ , di cui ogni riga è costituita dai tre elementi corrispondenti alle componenti del vettore che compare in quella riga: questo vuol dire che le (43.6) definiscono le trasformazioni di tre vettori).

Sviluppando il prodotto delle tre matrici di rotazione in (43.6), otteniamo

$$\begin{pmatrix} \mathbf{e}_x \\ \mathbf{e}_y \\ \mathbf{e}_z \end{pmatrix} = \begin{pmatrix} \cos \varphi \cos \psi - \sin \varphi \cos \theta \sin \psi & -\cos \varphi \sin \psi - \sin \varphi \cos \theta \cos \psi & \sin \varphi \sin \theta \\ \sin \varphi \cos \psi + \cos \varphi \cos \theta \sin \psi & -\sin \varphi \sin \psi + \cos \varphi \cos \theta \cos \psi & -\cos \varphi \sin \theta \\ \sin \theta \sin \psi & \sin \theta \cos \psi & \cos \theta \end{pmatrix} \begin{pmatrix} \mathbf{e}_1 \\ \mathbf{e}_2 \\ \mathbf{e}_3 \end{pmatrix}. \quad (43.7)$$

Se indichiamo con  $\{\mathbf{e}'_x, \mathbf{e}'_y, \mathbf{e}'_z\}$  la base che otteniamo dalla base  $\{\mathbf{e}_x, \mathbf{e}_y, \mathbf{e}_z\}$  del sistema fisso  $\kappa$  mediante l'azione della rotazione  $S^3(\varphi)$ , *i.e.*

$$\begin{pmatrix} \mathbf{e}_x \\ \mathbf{e}_y \\ \mathbf{e}_z \end{pmatrix} = \begin{pmatrix} \cos \varphi & -\sin \varphi & 0 \\ \sin \varphi & \cos \varphi & 0 \\ 0 & 0 & 1 \end{pmatrix} \begin{pmatrix} \mathbf{e}'_x \\ \mathbf{e}'_y \\ \mathbf{e}'_z \end{pmatrix}, \quad (43.8)$$

abbiamo che  $\mathbf{e}'_x \equiv \mathbf{e}_N$  per costruzione. Si ottiene quindi

$$\begin{pmatrix} \mathbf{e}_N \\ \mathbf{e}'_y \\ \mathbf{e}'_z \end{pmatrix} = \begin{pmatrix} 1 & 0 & 0 \\ 0 & \cos \theta & -\sin \theta \\ 0 & \sin \theta & \cos \theta \end{pmatrix} \begin{pmatrix} \cos \psi & -\sin \psi & 0 \\ \sin \psi & \cos \psi & 0 \\ 0 & 0 & 1 \end{pmatrix} \begin{pmatrix} \mathbf{e}_1 \\ \mathbf{e}_2 \\ \mathbf{e}_3 \end{pmatrix}, \quad (43.9)$$

come si può leggere dalla (43.6) e dalla definizione (43.8).

Dalle (43.7) e (43.9) otteniamo allora le formule che esprimono i versori  $\mathbf{e}_z$  ed  $\mathbf{e}_N$  come combinazioni lineari dei versori della base del sistema solidale con il sistema rigido, *i.e.*

$$\begin{aligned} \mathbf{e}_z &= \sin \theta \sin \psi \mathbf{e}_1 + \sin \theta \cos \psi \mathbf{e}_2 + \cos \theta \mathbf{e}_3, \\ \mathbf{e}_N &= \cos \psi \mathbf{e}_1 - \sin \psi \mathbf{e}_2, \end{aligned} \quad (43.10)$$

che saranno utili più avanti.

**43.7. Osservazione.** Notiamo che se si sceglie l'asse dei nodi  $\mathbf{e}_N$  coincidente con il versore  $\mathbf{e}_1$  (questo sarà sempre lecito se il sistema rigido è invariante per rotazioni intorno all'asse  $\mathbf{e}_3$ ), le formule (43.10) si semplificano in

$$\begin{aligned}\mathbf{e}_z &= \sin \theta \mathbf{e}_2 + \cos \theta \mathbf{e}_3, \\ \mathbf{e}_N &= \mathbf{e}_1,\end{aligned}\tag{43.11}$$

poiché  $\psi = 0$  in tale caso.

**43.8. LEMMA.** *La velocità angolare di un sistema rigido, espressa in termini degli angoli di Eulero, è data da*

$$\boldsymbol{\Omega} = (\dot{\varphi} \sin \theta \sin \psi + \dot{\theta} \cos \psi) \mathbf{e}_1 + (\dot{\varphi} \sin \theta \cos \psi - \dot{\theta} \sin \psi) \mathbf{e}_2 + (\dot{\psi} + \dot{\varphi} \cos \theta) \mathbf{e}_3,\tag{43.12}$$

nel sistema di riferimento  $K$  solidale con il sistema rigido.

**43.9. Dimostrazione del lemma 43.8.** La velocità angolare del moto descritto da  $S^3(\varphi)$  è data da  $\dot{\varphi} \mathbf{e}_z$ , quella del moto descritto da  $S^1(\theta)$  è data da  $\dot{\theta} \mathbf{e}_N(t)$ , e quella del moto descritto da  $S^3(\psi)$  è data da  $\dot{\psi} \mathbf{e}_3(t)$ , dove abbiamo indicato esplicitamente la dipendenza dal tempo dei versori che si muovono rispetto al sistema fisso  $\kappa$  e abbiamo tenuto conto di come si trasformano le matrici di rotazione cambiando sistema di riferimento.

Se ricordiamo la legge di composizione delle velocità angolari, abbiamo che la velocità angolare del moto composto è

$$\dot{\varphi}(t) \mathbf{e}_z + \dot{\theta}(t) \mathbf{e}_N(t) + \dot{\psi}(t) \mathbf{e}_3(t),\tag{43.13}$$

che, utilizzando la (43.10), possiamo esprimere nel sistema di riferimento solidale  $K$  con il corpo rigido, ottenendo la (43.12). ■

**43.10. COROLLARIO.** *L'energia cinetica di un sistema rigido nel sistema di riferimento solidale, espressa in termini degli angoli di Eulero, è data da*

$$T = \frac{I_1}{2} (\dot{\varphi} \sin \theta \sin \psi + \dot{\theta} \cos \psi)^2 + \frac{I_2}{2} (\dot{\varphi} \sin \theta \cos \psi - \dot{\theta} \sin \psi)^2 + \frac{I_3}{2} (\dot{\psi} + \dot{\varphi} \cos \theta)^2,\tag{43.14}$$

dove  $I_1$ ,  $I_2$  e  $I_3$  sono gli assi principali d'inerzia, e si riduce a

$$T = \frac{I_1}{2} (\dot{\theta}^2 + \dot{\varphi}^2 \sin^2 \theta) + \frac{I_3}{2} (\dot{\psi} + \dot{\varphi} \cos \theta)^2,\tag{43.15}$$

nel caso di un sistema rigido simmetrico rispetto a rotazioni intorno all'asse  $\mathbf{e}_3$  ( $I_1 = I_2$ ).

**43.11. Dimostrazione del corollario 43.10.** L'energia cinetica di un sistema rigido, nel sistema di riferimento solidale, è data dalla (43.10), così che, utilizzando l'espressione (43.12) per la velocità angolare, otteniamo la (43.14).

Nel caso di un sistema rigido simmetrico (rispetto a rotazioni intorno all'asse  $\mathbf{e}_3$ ) l'energia cinetica si ottiene dalla (43.14) ponendo  $I_1 = I_2$ .

Alternativamente, non volendo usare la formula (43.12) che esprime la velocità angolare in generale, si può semplificare la trattazione come segue. Possiamo assumere, in ogni istante  $t_0$ , senza perdita di generalità, che l'asse dei nodi  $\mathbf{e}_N(t_0)$  coincide con l'asse  $\mathbf{e}_1(t_0)$ .

Nel sistema  $K$  le componenti di  $\mathbf{e}_z$  all'istante  $t_0$  sono (cfr. la (43.11))

$$\mathbf{e}_z = \cos \theta(t_0) \mathbf{e}_3(t_0) + \sin \theta(t_0) \mathbf{e}_2(t_0), \quad (43.16)$$

e quindi la velocità angolare (43.12) diventa

$$\boldsymbol{\Omega}(t_0) = \dot{\theta}(t_0) \mathbf{e}_1(t_0) + \dot{\varphi}(t_0) \sin \theta(t_0) \mathbf{e}_2(t_0) + (\dot{\varphi}(t_0) \cos \theta(t_0) + \dot{\psi}(t_0)) \mathbf{e}_3(t_0). \quad (43.17)$$

Quindi per ogni  $t_0$  si ha

$$\Omega_1 = \dot{\theta}, \quad \Omega_2 = \dot{\varphi} \sin \theta, \quad \Omega_3 = \dot{\varphi} \cos \theta + \dot{\psi}, \quad (43.18)$$

pur di scegliere, come detto,  $\mathbf{e}_N(t_0) = \mathbf{e}_1(t_0)$ .

L'energia cinetica (43.14) diventa quindi

$$T = \frac{1}{2} \left( I_1^2 (\Omega_1^2 + \Omega_2^2) + I_3^2 \Omega_3^2 \right), \quad (43.19)$$

poiché  $I_1 = I_2$ , e, utilizzando le (43.18), si ottiene la (43.15). ■

**43.12.** Nel seguito analizzeremo brevemente le precessioni regolari, mettendone in luce la rilevanza per problemi di interesse fisico.

**43.13.** DEFINIZIONE (PRECESSIONE REGOLARE). *Si immagini che un sistema rigido ruoti uniformemente intorno a un asse  $\mathbf{f}$  solidale con esso, e che tale asse, a sua volta, mantenendosi incidente a un asse fisso  $\mathbf{e}$  in un suo punto  $O$ , ruoti uniformemente intorno a quest'ultimo. Si chiamerà precessione regolare (o precessione tout court) il moto assoluto del sistema rigido; l'asse fisso  $\mathbf{e}$  si dice asse di precessione, l'asse  $\mathbf{f}$  fisso nel sistema mobile asse di figura, e il punto fisso  $O$  comune ai due assi polo della precessione.*

**43.14.** Osservazione. Una precessione regolare risulta individuata quando sia dato il polo e siano assegnate le velocità angolari dei due moti generatori, una costante nel sistema fisso e l'altra costante nel sistema solidale. Se indichiamo con  $\boldsymbol{\omega}_1$  e con  $\boldsymbol{\omega}_2$  le velocità angolari del sistema intorno a  $\mathbf{f}$  e, rispettivamente, intorno a  $\mathbf{e}$ , si ha, ricordando la legge di composizione delle velocità angolari (cfr. il lemma 33.41), che

$$\boldsymbol{\omega} = \boldsymbol{\omega}_1 + \boldsymbol{\omega}_2, \quad (43.20)$$

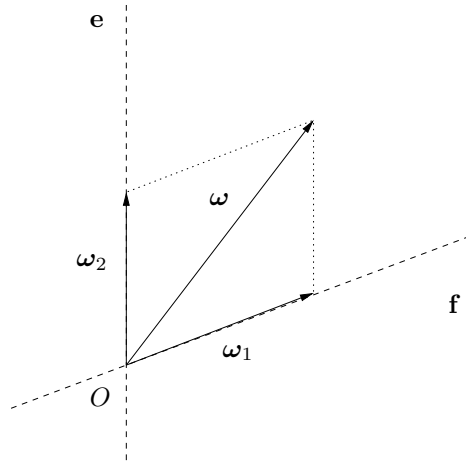


FIGURA 43.2. Esempio di precessione regolare.

esprime la velocità angolare della precessione regolare. Cfr. la figura 43.2.

**43.15. LEMMA.** *In una precessione regolare i coni di Poinot sono rotondi.*

**43.16. Dimostrazione del lemma 43.15.** Durante la precessione regolare, il parallelogramma di lati  $\omega_1$  e  $\omega_2$  ruota intorno all'asse  $\mathbf{e}$  conservando inalterata la sua configurazione, poiché  $\omega_1$  e  $\omega_2$  sono costanti. In particolare la diagonale del parallelogramma, che individua la velocità angolare (43.12), si mantiene inclinata di un angolo costante sia rispetto all'asse  $\mathbf{e}$  sia rispetto all'asse  $\mathbf{f}$ . Da qui segue l'asserto. ■

**43.17. Classificazione delle precessioni regolari.** Una precessione regolare in cui il prodotto scalare  $\langle \omega_1, \omega_2 \rangle$  non sia nullo si dice *precessione progressiva* o *retrograda* a seconda che tale quantità sia positiva o negativa. Se introduciamo i due versori  $\mathbf{e}_z$  ed  $\mathbf{e}_3$ , applicati in  $O$  e diretti, rispettivamente, lungo i due assi  $\mathbf{e}$  e  $\mathbf{f}$ , possiamo scrivere

$$\omega_1 = \nu \mathbf{e}_3, \quad \omega_2 = \mu \mathbf{e}_z, \quad (43.21)$$

così che risulta

$$\langle \omega_1, \omega_2 \rangle = \mu\nu \cos \theta_0, \quad (43.22)$$

se  $\theta_0$  denota l'angolo tra i due versori  $\mathbf{e}_z$  ed  $\mathbf{e}_3$ . Sarà quindi il segno del prodotto nel membro di destra della (43.22) che discrimina se la precessione è progressiva o retrograda: possiamo dire in generale che la precessione è progressiva o retrograda a seconda che i due vettori  $\omega_1$  e  $\omega_2$  formino tra loro un angolo acuto o ottuso.

Un'altra possibile classificazione delle precessioni regolari discende dalla mutua posizione dei coni rotondi di Poinot. Infatti sono possibili i seguenti casi (cfr. la figura

43.3:

- (1) i due coni sono l'uno esterno all'altro;
- (2) il cono mobile è interno a quello fisso;
- (3) il cono fisso è interno a quello mobile.

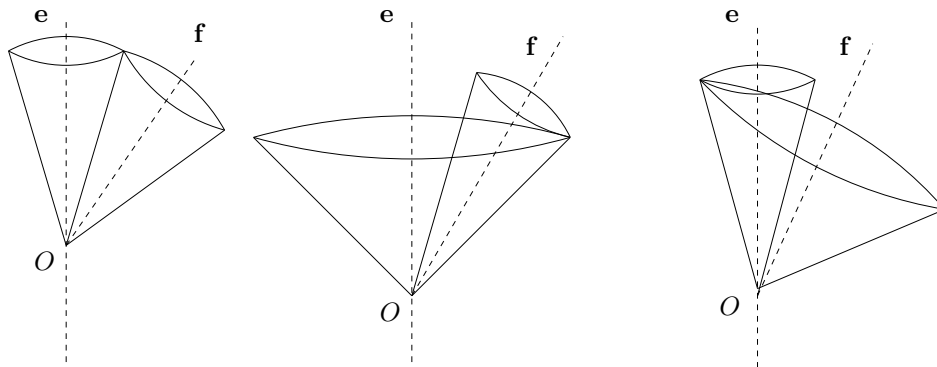


FIGURA 43.3. Classificazione delle precessioni regolari.

Introducendo gli angoli di Eulero, prendendo come origine il polo della precessione e come assi  $\mathbf{e}_z$  e  $\mathbf{e}_3$  i versori omonimi precedentemente introdotti, l'angolo  $\varphi$  dà l'anomalia (rispetto all'asse  $\mathbf{e}_x$ ) dell'asse dei nodi sul piano ortogonale in  $O$  all'asse  $\mathbf{e}$  e l'angolo  $\psi$  dà l'anomalia (rispetto all'asse dei nodi) dell'asse  $\mathbf{e}_1$  sul piano ortogonale in  $O$  all'asse  $\mathbf{f}$ ; si avrà quindi

$$\theta = \theta_0, \quad \varphi = \varphi_0 + \nu t, \quad \psi = \psi_0 + \mu t, \quad (43.23)$$

dove  $(\varphi_0, \theta_0, \psi_0)$  sono gli angoli di Eulero della configurazione iniziale del sistema rigido.

**43.18. ESEMPIO (PRECESSIONE REGOLARE DELLA TERRA).** La Terra ruota uniformemente intorno al suo asse polare  $\mathbf{f}$  in senso antiorario, descrivendo un giro completo in un giorno. L'asse polare terrestre, a sua volta, non conserva direzione invariabile rispetto alla sfera celeste, ma ruota uniformemente (per quanto con estrema lentezza) intorno a una retta  $\mathbf{e}$  di direzione fissa passante per il centro della Terra  $O$  e ortogonale al piano dell'*eclittica* (*i.e.* al piano dell'orbita ellittica descritta dalla Terra nel suo moto di rivoluzione intorno al Sole); cfr. la figura 43.4.

L'angolo costante  $\theta_0$  tra le due rette (non orientate) è di circa  $23^\circ 30'$ . Se immaginiamo la  $\mathbf{f}$  orientata dal centro della Terra verso il polo Nord e la  $\mathbf{e}$  orientata in modo da formare con la  $\mathbf{f}$  l'angolo acuto  $\theta_0$ , risulta (dalle osservazioni astronomiche) che l'asse terrestre  $\mathbf{f}$  ruota intorno a  $\mathbf{e}$  in senso orario, descrivendo un intero giro in circa 26000 anni (*anno platonico*): si tratta quindi di una precessione regolare retrograda.

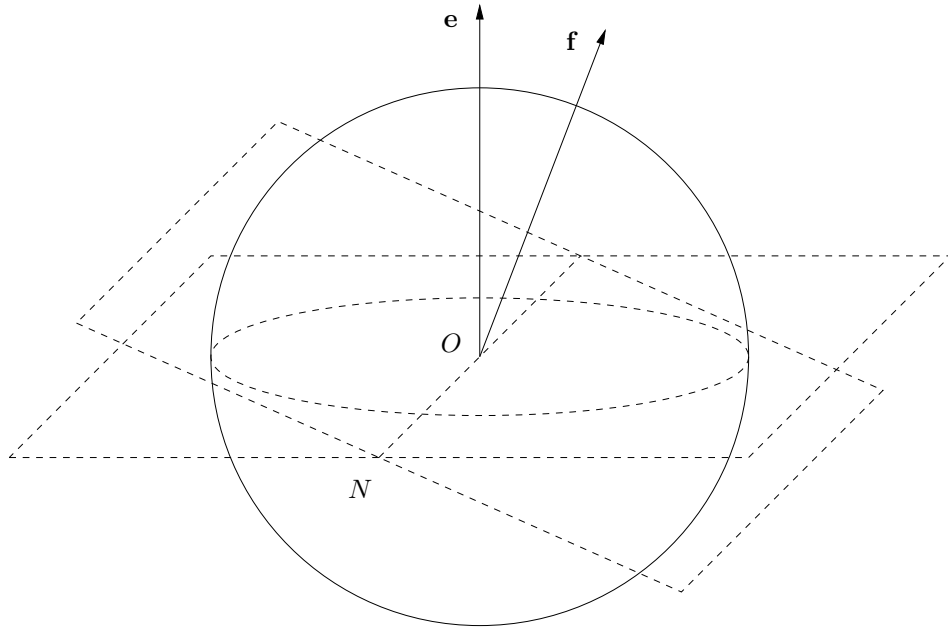


FIGURA 43.4. Precessione degli equinozi. Il piano dell'equatore (piano inclinato della figura) interseca il piano dell'eclittica lungo l'asse dei nodi  $N$ .

Se prendiamo come unità di misura il giorno risulta allora

$$\mu = 2\pi, \quad \nu \approx -2\pi 10^{-7}, \quad (43.24)$$

che mostra l'estrema piccolezza del rapporto  $|\mu|/|\nu|$  dei moduli delle due velocità angolari. L'asse di moto della precessione sarà quindi una retta orientata, esterna all'angolo tra le due rette  $\mathbf{f}$  e  $\mathbf{e}$  e inclinata su  $\mathbf{f}$  di un angolo piccolissimo (di circa  $0,00867''$ ); quindi il cono mobile di Poinsot, di apertura piccolissima, rotola internamente al cono fisso, di apertura lievemente superiore a  $\theta_0$ .

Poiché il moto dovuto alla rotazione dell'asse terrestre è estremamente lento, spesso in prima approssimazione si considera il moto della Terra come una semplice rotazione uniforme intorno al proprio asse. In realtà per qualche secolo la rotazione di  $\mathbf{f}$  intorno a  $\mathbf{e}$  rimane pressoché inavvertibile, anche se diventa osservabile con i millenni: *e.g.* alcune costellazioni ora visibili solo nell'emisfero meridionale lo furono un tempo (circa 3000 anni fa) anche dalle regioni mediterranee, come è testimoniato da passi biblici e omerici.

**43.19. ESEMPIO (PRECESSIONE DEGLI EQUINOZI).** Come risulta dalla discussione nel paragrafo §43.18 il piano equatoriale non coincide con il piano dell'eclittica. Sia  $N$  l'intersezione dei due piani (contenente il centro della Terra  $O$ ): tale retta è la

linea dei nodi nel sistema di riferimento per gli angoli di Eulero che si è scelto nel paragrafo §43.18. Nel moto di rivoluzione della Terra intorno al Sole, quest'ultimo attraversa una volta sola la semiretta positiva condotta da  $O$  con direzione data dall'asse dei nodi: l'epoca di tale attraversamento costituisce l'*equinozio di primavera*. L'intersezione con la semiretta opposta costituisce l'*equinozio di autunno*. La retta  $N$  si dice allora *linea degli equinozi*. Risulta allora dalla (43.23) che tale linea ruota sul piano dell'eclittica con velocità angolare  $\dot{\varphi} = \nu$ , che, in conformità con la (43.24), è lentissima e diventa apprezzabile solo su intervalli di tempo lunghi (dell'ordine di secoli o millenni). Poiché  $\nu < 0$  (cfr. di nuovo la (43.24)), la rotazione corrispondente è in senso orario sul piano dell'eclittica e dà quindi luogo a un anticipo degli equinozi a cui di dà il nome di *precessione degli equinozi*. In conseguenza di tale precessione ogni 13000 anni circa (mezzo anno platonico; cfr. il paragrafo §43.18) si verifica un totale capovolgimento delle condizioni di temperatura caratteristiche delle singole stagioni.

## 44. Equazioni di Eulero

**44.1. Introduzione.** Utilizzando i risultati del paragrafo §42, studieremo ora in dettaglio il moto del vettore velocità angolare (o equivalentemente del momento angolare).

Questo non risolve completamente il problema di determinare il moto del sistema rigido (cfr. l'osservazione 44.16 più avanti): vedremo comunque che le equazioni che descrivono il moto della velocità angolare definiscono un sistema dinamico di per sè interessante.

**44.2. TEOREMA.** *Dato un sistema rigido che ruota intorno a un punto fisso  $O$  in assenza di forze esterne, si ha*

$$\frac{d\mathbf{L}}{dt} = [\mathbf{L}, \boldsymbol{\Omega}], \quad (44.1)$$

se  $\mathbf{L}$  è il momento angolare rispetto a  $O$  e  $\boldsymbol{\Omega}$  è la velocità angolare del sistema rigido.

**44.3. Dimostrazione del teorema 44.2.** Utilizzando il lemma 34.4 del capitolo 8, si ha

$$\dot{\mathbf{i}} = B(\dot{\mathbf{L}} + [\boldsymbol{\Omega}, \mathbf{L}]). \quad (44.2)$$

Poiché  $\dot{\mathbf{i}} = \mathbf{0}$  (conservazione del momento angolare in assenza di forze; cfr. la seconda delle (39.11)), segue la (44.1). ■

**44.4. Osservazione.** Poiché  $\mathbf{L} = I\boldsymbol{\Omega}$ , possiamo considerare la (44.1) come un sistema di equazioni differenziali ordinarie nelle variabili  $\boldsymbol{\Omega}$ . Se  $\boldsymbol{\Omega} = \Omega_1\mathbf{e}_1 + \Omega_2\mathbf{e}_2 + \Omega_3\mathbf{e}_3$  è la scomposizione di  $\boldsymbol{\Omega}$  nella base degli assi d'inerzia, la (44.1) assume la forma

$$\begin{cases} I_1\dot{\Omega}_1 = (I_2 - I_3)\Omega_2\Omega_3, \\ I_2\dot{\Omega}_2 = (I_3 - I_1)\Omega_1\Omega_3, \\ I_3\dot{\Omega}_3 = (I_1 - I_2)\Omega_1\Omega_2, \end{cases} \quad (44.3)$$

che sono note come *equazioni di Eulero* (per un sistema rigido non sottoposto a forze).

**44.5. Osservazione.** Se sul sistema rigido agiscono forze esterne, si ha  $\dot{\mathbf{L}} = \mathbf{n}$ , dove  $\mathbf{n}$  è la somma dei momenti delle forze esterne rispetto al punto  $O$ ; cfr. il paragrafo §40. Allora, se  $\mathbf{n} = B\mathbf{N}$ , si ha, in luogo della (44.1),

$$\frac{d\mathbf{L}}{dt} = [\mathbf{L}, \boldsymbol{\Omega}] + \mathbf{N}, \quad (44.4)$$

così che, per componenti, possiamo scrivere

$$\begin{cases} I_1 \dot{\Omega}_1 = (I_2 - I_3)\Omega_2\Omega_3 + N_1, \\ I_2 \dot{\Omega}_2 = (I_3 - I_1)\Omega_1\Omega_3 + N_2, \\ I_3 \dot{\Omega}_3 = (I_1 - I_2)\Omega_1\Omega_2 + N_3, \end{cases} \quad (44.5)$$

che sono le equazioni di Eulero nel caso generale.

**44.6. TEOREMA.** *Le equazioni di Eulero (44.3) ammettono due integrali primi quadratici*

$$2E = \frac{L_1^2}{I_1} + \frac{L_2^2}{I_2} + \frac{L_3^2}{I_3} = \langle \mathbf{L}, I^{-1}\mathbf{L} \rangle, \quad L^2 = L_1^2 + L_2^2 + L_3^2 = \langle \mathbf{L}, \mathbf{L} \rangle, \quad (44.6)$$

dove  $E = T$  è l'energia cinetica e  $L$  è il modulo del momento angolare  $\mathbf{L}$ . I due integrali sono indipendenti purché  $I \neq c\mathbb{1}$ , per ogni costante  $c$ .

**44.7. Dimostrazione del teorema 44.6.** Si calcoli esplicitamente la derivata temporale dell'energia e del modulo del momento angolare, utilizzando le (44.3) e ricordando che  $\mathbf{L} = I\boldsymbol{\Omega}$ , così che  $\dot{\mathbf{L}} = I\dot{\boldsymbol{\Omega}}$  e  $\dot{E} = \langle \dot{\boldsymbol{\Omega}}, I\boldsymbol{\Omega} \rangle$ . ■

**44.8. DEFINIZIONE (ROTAZIONE STAZIONARIA).** *Il moto di un sistema rigido, durante il quale la velocità angolare rimane costante, si chiama rotazione stazionaria.*

**44.9. Osservazione.** Le equazioni (44.3) descrivono un sistema dinamico in  $\mathbb{R}^3$ ; le rotazioni stazionarie di un sistema rigido costituiscono quindi i punti d'equilibrio del sistema dinamico (44.3), *i.e.* i punti in cui si annulla il corrispondente campo vettoriale.

**44.10. TEOREMA.** *Un sistema rigido vincolato a un punto ammette una rotazione stazionaria intorno a uno qualsiasi dei suoi tre assi d'inerzia.*

**44.11. Dimostrazione del teorema 44.10.** Dal teorema 44.6 segue che  $\mathbf{L}$  deve giacere sull'intersezione della superficie dell'ellissoide  $\langle \mathbf{L}, I^{-1}\mathbf{L} \rangle = 2E = 2T$  con la superficie della sfera  $\langle \mathbf{L}, \mathbf{L} \rangle = L^2$ . Quindi le traiettorie del sistema si devono svolgere sulle curve di intersezione. Fissiamo l'ellissoide (*i.e.*  $E$ ) e facciamo variare il raggio della sfera (*i.e.*  $L = |\mathbf{L}|$ ), per studiare i possibili casi che si presentano.

(1) Supponiamo inizialmente che sia

$$I_1 < I_2 < I_3, \quad (44.7)$$

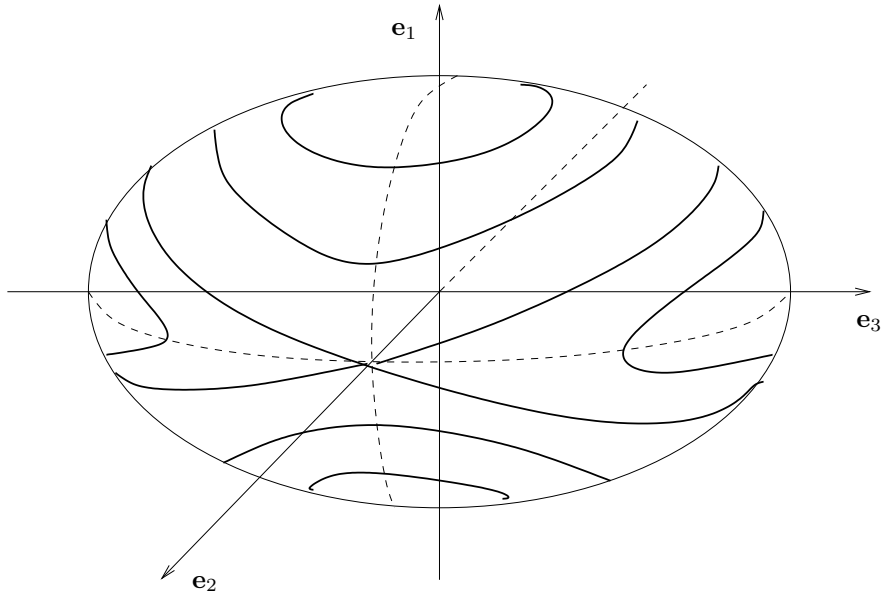


FIGURA 44.1. Discussione del teorema 44.10: caso  $I_1 < I_2 < I_3$ .

così che i semiassi dell'ellissoide saranno  $\sqrt{2EI_1} < \sqrt{2EI_2} < \sqrt{2EI_3}$ . Cfr. la figura 44.1.

Se il raggio  $L$  della sfera è uguale al semiasse più grande, l'intersezione consiste in due punti antipodali  $(0, 0, \pm\sqrt{2EI_3})$ . Diminuendo il valore del raggio ( $\sqrt{2EI_3} > L > \sqrt{2EI_2}$ ), si ottengono due curve chiuse intorno agli estremi del semiasse più grande; cfr. anche l'esercizio 21 e la figura 44.2.

Allo stesso modo se il raggio  $L$  della sfera è uguale al semiasse più piccolo, l'intersezione consiste in due punti antipodali  $(\pm\sqrt{2EI_1}, 0, 0)$ . Aumentando il valore del raggio ( $\sqrt{2EI_1} < L < \sqrt{2EI_2}$ ), si ottengono due curve chiuse intorno agli estremi del semiasse più piccolo; cfr. anche l'esercizio 22 e la figura 44.3.

Se  $L = \sqrt{2EI_2}$  l'intersezione consiste in due curve chiuse che hanno in comune gli estremi del semiasse intermedio dell'ellissoide, *i.e.* i due punti antipodali  $(0, \pm\sqrt{2EI_2}, 0)$ . È inoltre facile vedere che le due curve sono delle circonferenze. Infatti, se  $L = \sqrt{2EI_2}$ , moltiplicando la prima delle (44.6) per  $I_2$  e considerandone la differenza con la seconda otteniamo

$$\frac{I_2 - I_1}{I_1} L_1^2 = \frac{I_3 - I_2}{I_3} L_3^2, \tag{44.8}$$

che è l'equazione di due piani, che intersecano il piano  $L_2 = 0$  lungo le rette

$$L_1 = \pm \sqrt{\frac{I_1}{I_3} \frac{I_3 - I_2}{I_2 - I_1}} L_3. \tag{44.9}$$

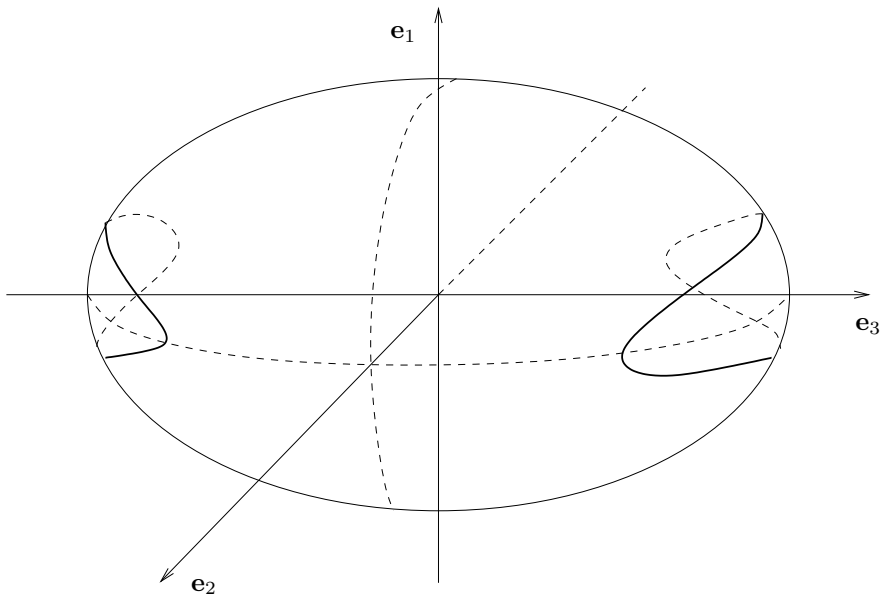


FIGURA 44.2. Curve d'intersezione dell'ellissoide con la sfera per  $\sqrt{2EI_2} < L < \sqrt{2EI_3}$ .

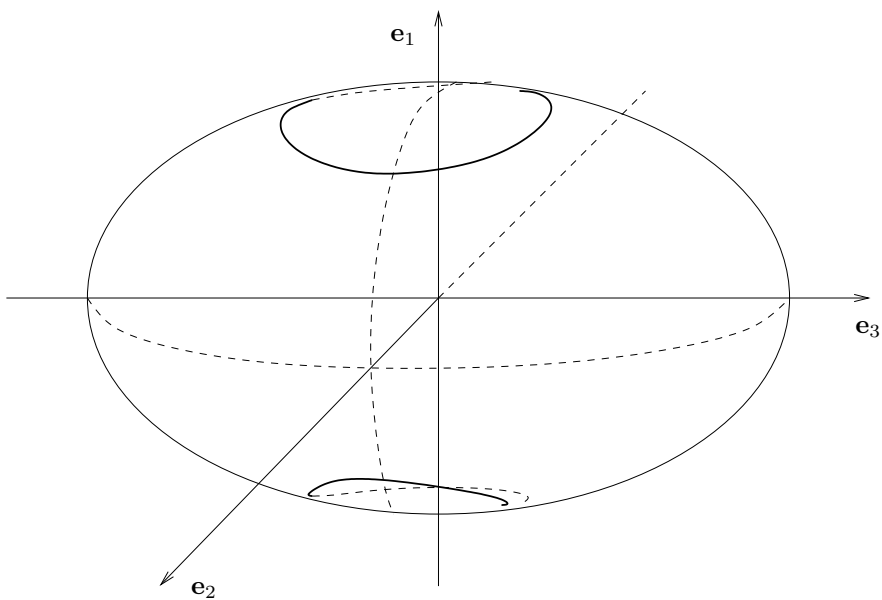


FIGURA 44.3. Curve d'intersezione dell'ellissoide con la sfera per  $\sqrt{2EI_1} < L < \sqrt{2EI_2}$ .

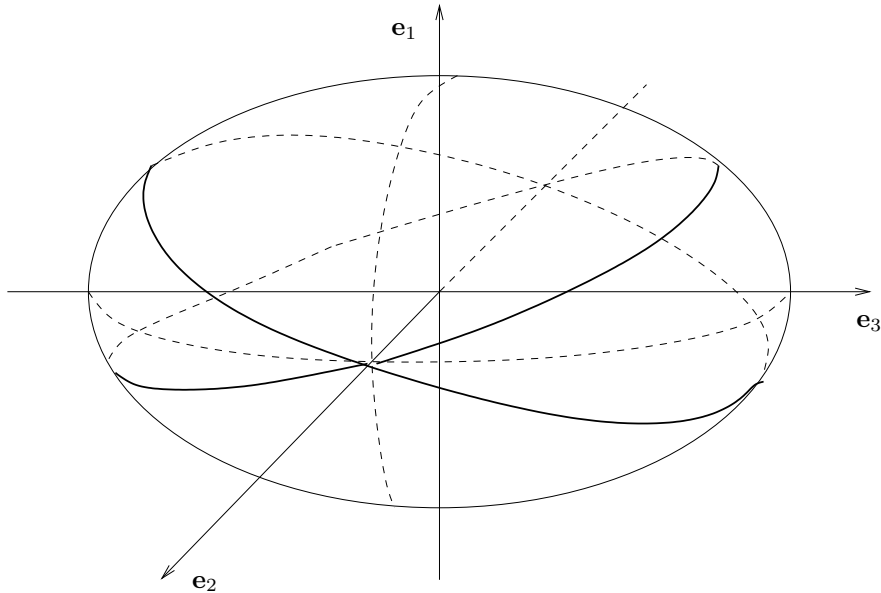


FIGURA 44.4. Curve d'intersezione dell'ellissoide con la sfera per  $L = \sqrt{2EI_2}$ .

I piani (44.8) passano per il centro della sfera: intersecano pertanto la superficie della sfera lungo due cerchi di raggio massimo; cfr. l'esercizio 24 e la figura 44.4.

Ognuno dei 6 estremi dei semiassi rappresenta una singola traiettoria del sistema di equazioni (44.3) e precisamente un punto d'equilibrio (la loro natura sarà discussa nel teorema 44.13): a esso corrisponde un valore costante del momento angolare, che rimane diretto lungo uno degli assi d'inerzia per tutto il tempo. Inoltre  $\mathbf{L}$  risulta parallelo a  $\boldsymbol{\Omega}$ . Infatti, se  $\mathbf{L} = L_j \mathbf{e}_j$ , si ha  $\mathbf{L} = L_j \mathbf{e}_j = I_j \Omega_j \mathbf{e}_j = I \boldsymbol{\Omega}$ , con  $\boldsymbol{\Omega} = \Omega_j \mathbf{e}_j$ .

Per definizione di velocità angolare, si ha  $\dot{B}B^{-1} = A_\omega$  (cfr. l'osservazione 33.17). D'altra parte  $A_\omega = BA_\Omega B^{-1}$ , così che  $\dot{B} = BA_\Omega$ . Se  $\boldsymbol{\Omega}(t) = \boldsymbol{\Omega}(0)$  per ogni  $t$ , si ha quindi, se si assume  $B = \mathbb{1}$  per  $t = 0$  (come si può fare senza perdita di generalità),  $B = \exp[tA_\Omega]$  (poiché  $A_\Omega$  è costante), e quindi  $A_\omega = \dot{B}B^{-1} = A_\Omega$ , ovvero  $\boldsymbol{\omega}(t) = \boldsymbol{\Omega}(0)$  per ogni  $t$ .

Quindi, poiché  $\mathbf{I}$  e  $\boldsymbol{\omega}$  sono entrambi costanti e  $\mathbf{l} = B\mathbf{L}$ ,  $\boldsymbol{\omega} = B\boldsymbol{\Omega} = \boldsymbol{\Omega}$ , con  $\mathbf{L}, \boldsymbol{\Omega}$  collineari, anche il vettore  $\mathbf{l}$  rimane collineare a  $\boldsymbol{\omega}$  nello spazio  $\kappa$ : il sistema rigido ruota con velocità angolare uniforme intorno a uno degli assi d'inerzia  $\mathbf{e}_j$  (si ha perciò una rotazione stazionaria; cfr. la definizione 44.8).

(2) Supponiamo ora che due autovalori di  $I$  coincidano, *e.g.*  $I_1 = I_2 < I_3$  (il caso  $I_1 < I_2 = I_3$  si discute allo stesso modo). Cfr. la figura 44.5.

Per  $L = \sqrt{2EI_1} = \sqrt{2EI_2}$ , l'intersezione dell'ellissoide con la sfera è una curva chiusa  $\gamma_0$  (circonferenza) costituita interamente da punti d'equilibrio per il moto di  $\boldsymbol{\Omega}$  (cfr. le (44.3): se  $I_1 = I_2$  ogni  $\boldsymbol{\Omega}$  con  $\Omega_3 = 0$  è un punto d'equilibrio). Si tratta

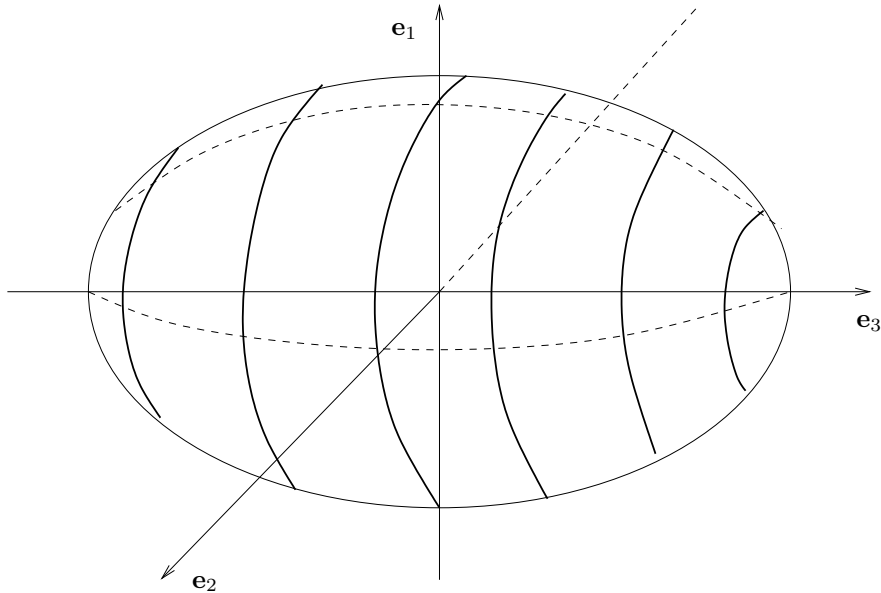


FIGURA 44.5. Discussione del teorema 44.10: caso  $I_1 = I_2 < I_3$ .

di punti d'equilibrio instabili. Infatti per  $L \approx \sqrt{2EI_1}$ , l'intersezione è una curva  $\gamma$  di raggio finito, che, per  $L \rightarrow \sqrt{2EI_1}$ , tende a  $\gamma_0$ . Tuttavia la curva  $\gamma$  non contiene posizioni d'equilibrio e quindi il moto corrispondente è periodico. È facile vedere che per ogni valore  $\sqrt{2EI_1} < L < \sqrt{2EI_3}$  l'intersezione dell'ellissoide con la sfera definisce due circonferenze contenute in due piani ortogonali all'asse  $e_3$  ed equidistanti dal piano  $(L_1, L_2)$ ; cfr. l'esercizio 25.

Se  $L = \sqrt{2EI_3}$ , si ha un punto d'equilibrio stabile: la trattazione è identica a quella fatta al punto (1), e, in particolare, la stabilità potrà essere discussa come nel teorema 44.13 più avanti.

(3) Se infine  $I_1 = I_2 = I_3$ , anche l'ellissoide in (44.6) è in realtà una sfera, e le due sfere o non hanno intersezione o si sovrappongono ( $2EI_1^2 = L^2$ ). In quest'ultimo caso  $\dot{\boldsymbol{\Omega}} = \mathbf{0}$  per ogni  $\boldsymbol{\Omega}$ , i.e.  $\boldsymbol{\Omega}(t) = \boldsymbol{\Omega}(0)$  per ogni  $\boldsymbol{\Omega}(0)$  (cfr. le (44.3)), e quindi sono possibili solo rotazioni stazionarie stabili. ■

**44.12. Osservazione.** Se i momenti principali d'inerzia sono tutti distinti (cfr. (44.7)), i membri di destra delle equazioni di Eulero non si annullano mai se non quando sono nulle almeno due componenti della velocità angolare  $\boldsymbol{\Omega}$ , e quindi non sono possibili altre rotazioni stazionarie oltre a quelle intorno agli assi d'inerzia. Se due momenti principali d'inerzia sono uguali, e.g.  $I_1 = I_2$ , sono possibili rotazioni stazionarie (instabili; cfr. il paragrafo §44.11) intorno a qualsiasi asse che giaccia nel piano individuato dagli assi d'inerzia  $e_1$  e  $e_2$  (che può essere scelto come asse d'inerzia). Infine, nel caso

in cui tutti i momenti principali d'inerzia coincidano, ogni asse passante per il centro della sfera è un asse d'inerzia, e le rotazioni stazionarie intorno a esso sono stabili. In conclusione, avremo rotazioni stazionarie solo intorno ad assi che sono (o comunque possono essere scelti come) assi d'inerzia.

**44.13. TEOREMA.** *Nel caso in cui i momenti principali d'inerzia siano tutti distinti, le soluzioni stazionarie delle equazioni di Eulero che corrispondono a rotazioni intorno agli assi d'inerzia minore o maggiore ( $\boldsymbol{\Omega} = \Omega_1 \mathbf{e}_1$  e  $\boldsymbol{\Omega} = \Omega_3 \mathbf{e}_3$ ) sono stabili, mentre la soluzione stazionaria che corrisponde alla rotazione intorno all'asse d'inerzia intermedio ( $\boldsymbol{\Omega} = \Omega_2 \mathbf{e}_2$ ) è instabile.*

**44.14. Dimostrazione del teorema 44.13.** Segue dalla costruzione del paragrafo §44.11, come ora mostreremo. Si noti innanzitutto che per valori  $L \neq \sqrt{2EI_j}$ , per ogni  $j = 1, 2, 3$ , le curve d'intersezione dell'ellissoide con la sfera sono curve chiuse, lungo le quali il campo vettoriale non si annulla mai: le traiettorie che si svolgono su tali curve sono quindi periodiche. Per  $L$  vicino a  $\sqrt{2EI_1}$  (o  $L$  vicino a  $\sqrt{2EI_3}$ ) l'intersezione dell'ellissoide con la sfera consiste in due curve di diametro piccolo che racchiudono (sulla superficie dell'ellissoide) il punto d'equilibrio  $L = \sqrt{2EI_1}$  (o  $L = \sqrt{2EI_3}$ ), e il diametro tende a zero quando i dati iniziali tendono al punto d'equilibrio.

Al contrario, per  $L = \sqrt{2EI_2}$ , i punti d'equilibrio dividono le due curve d'intersezione dell'ellissoide con la sfera in quattro archi su cui si svolgono moti asintotici (per il teorema di unicità delle soluzioni). E per dati iniziali vicino ai punti d'equilibrio corrispondenti a  $L = \sqrt{2EI_2}$  si hanno sia orbite chiuse che racchiudono (sulla superficie dell'ellissoide) un punto d'equilibrio  $L = \sqrt{2EI_1}$  sia orbite chiuse che racchiudono (sulla superficie dell'ellissoide) un punto d'equilibrio  $L = \sqrt{2EI_3}$ . Quindi i punti d'equilibrio che corrispondono a  $L = \sqrt{2EI_2}$  sono instabili.

Alternativamente si può considerare la linearizzazione del sistema dinamico (44.3) intorno alle posizioni d'equilibrio  $L = \sqrt{2EI_2}$ , *i.e.* nell'intorno dei due punti d'equilibrio  $\boldsymbol{\Omega} = (0, \pm\sqrt{2E/I_2}, 0)$  e verificare che gli autovalori della matrice corrispondente sono (cfr. l'esercizio 26)

$$0, \quad \pm\sqrt{\frac{2E(I_3 - I_2)(I_2 - I_1)}{I_1 I_2^2 I_3}}, \quad (44.10)$$

quindi uno di essi è positivo. Possiamo quindi applicare il teorema 17.13. ■

**44.15. ESEMPIO.** Se si lancia in aria un libro imprimendogli una rotazione intorno all'asse perpendicolare alla copertina, o intorno all'asse parallelo al lato più lungo della copertina, esso cade ruotando in maniera (approssimativamente) uniforme intorno allo stesso asse. Se invece lo si lancia imprimendogli una rotazione intorno all'asse parallelo al lato più corto della copertina, tende a cadere compiendo un moto irregolare. [Ovviamente il libro è soggetto anche alla forza gravitazionale: si può tuttavia assumere che essa non alteri in maniera apprezzabile il moto rotatorio del libro

ma ne determini solo la caduta verso il basso.]

**44.16.** *Osservazione.* Le traiettorie  $(B_t, \boldsymbol{\Omega}(t))$  del sistema rigido che corrispondono alle rotazioni stazionarie intorno agli assi d'inerzia non sono stabili. Per verificare tale asserzione, è sufficiente considerare le rotazioni stazionarie intorno agli assi d'inerzia maggiore e minore (intorno alle quali il moto di  $\boldsymbol{\Omega}(t)$  è stabile), nel caso in cui i momenti principali d'inerzia sono tutti distinti. Il moto è determinato dalla configurazione e dalla velocità iniziali, quindi  $(B_0, \boldsymbol{\Omega}(0))$ . Senza perdita di generalità possiamo supporre  $B_0 = \mathbb{1}$ . Sia  $\{\boldsymbol{\Omega}_n(0)\}$  una successione tale che  $\boldsymbol{\Omega}_n(0) \rightarrow \boldsymbol{\Omega}(0) \equiv \boldsymbol{\Omega}_0$ , dove  $\boldsymbol{\Omega}_0$  è un punto d'equilibrio  $\boldsymbol{\Omega}_0 = \Omega_1 \mathbf{e}_1$  o  $\boldsymbol{\Omega}_0 = \Omega_3 \mathbf{e}_3$  per le equazioni di Eulero (44.3). In generale si ha

$$\liminf_{n \rightarrow \infty} \sup_{t \in \mathbb{R}} |B_t(\mathbb{1}, \boldsymbol{\Omega}_n(0)) - B_t(\mathbb{1}, \boldsymbol{\Omega}_0)| \neq 0, \quad (44.11)$$

*i.e.* piccole variazioni della velocità angolare iniziale producono, in un tempo sufficientemente lungo, un completo sfasamento dei punti rappresentativi sulle orbite. Una dimostrazione più formale si vedrà come conseguenza del teorema 46.4 più avanti: il moto può essere caratterizzato da due frequenze, che in generale non sono commensurabili, così che il moto non è in generale periodico. Si ha quindi uno sfasamento progressivo, con conseguente instabilità delle traiettorie.

**44.17.** **TEOREMA.** *Se due momenti d'inerzia principali sono uguali, ogni soluzione delle equazioni di Eulero la cui orbita non contiene punti d'equilibrio è periodica.*

**44.18.** *Dimostrazione del teorema 44.17.* Il teorema è stato già dimostrato attraverso l'analisi del paragrafo §44.11, nella discussione del caso  $I_1 = I_2 < I_3$ . Una deduzione equivalente si può fare analiticamente studiando direttamente le equazioni (44.3). Se  $I_1 = I_2$ , si vede subito dalla terza equazione in (44.3) che deve essere

$$\Omega_3(t) = \Omega_3(0), \quad \forall t \in \mathbb{R}, \quad (44.12)$$

così che

$$\begin{cases} \dot{\Omega}_1 = -\alpha \Omega_2, \\ \dot{\Omega}_2 = \alpha \Omega_1, \end{cases} \quad (44.13)$$

dove  $\alpha = (I_3 - I_1)\Omega_3(0)/I_1$ . Quindi la proiezione di  $\boldsymbol{\Omega}(t)$  lungo l'asse  $\mathbf{e}_3$  è costante, mentre la proiezione  $\boldsymbol{\Omega}_p(t) = \Omega_1(t)\mathbf{e}_1 + \Omega_2(t)\mathbf{e}_2$  sul piano perpendicolare all'asse  $\mathbf{e}_3$  si muove di moto rotatorio uniforme con velocità angolare  $\alpha$ ; cfr. la figura 44.6.

Infatti, introducendo il vettore costante  $\boldsymbol{\alpha} \equiv \alpha \mathbf{e}_z = (0, 0, \alpha)$ , possiamo riscrivere le (42.12) e (44.13) nella forma  $\dot{\boldsymbol{\Omega}} = [\boldsymbol{\alpha}, \boldsymbol{\Omega}]$ , che mostra che  $\boldsymbol{\Omega}$  ruota uniformemente intorno all'asse  $\mathbf{e}_3$ . In particolare

$$|\boldsymbol{\Omega}_p(t)|^2 = \Omega_1^2(t) + \Omega_2^2(t) = \Omega_p^2(t) \quad (44.14)$$

è costante; infatti si ha

$$|\mathbf{L}|^2 = I_1^2 (\Omega_1^2 + \Omega_2^2) + I_3^2 \Omega_3^2 = I_1^2 \Omega_p^2 + I_3 \Omega_3^2 \quad (44.15)$$

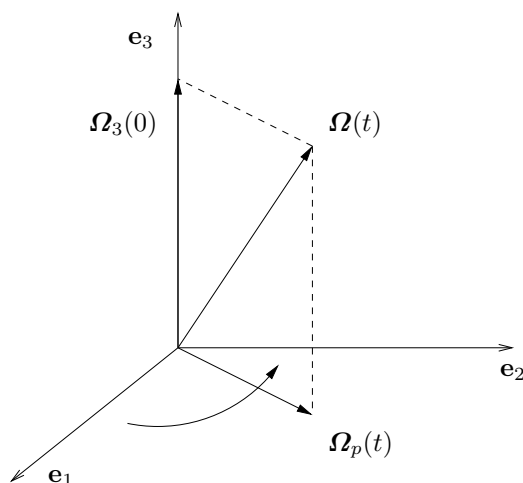


FIGURA 44.6. Discussione del teorema 44.17 nel caso  $I_1 = I_2 < I_3$ .

e poiché  $|\mathbf{L}|$  e  $\Omega_3$  sono costanti, deve essere costante anche  $\Omega_p(t)$ . Questo implica che  $|\boldsymbol{\Omega}(t)|^2 = \Omega_p^2(t) + \Omega_3^2(t)$  è costante. ■

## 45. Descrizione del moto secondo Poinsot

**45.1. Introduzione.** Nel presente paragrafo studieremo la descrizione secondo Poinsot del moto di un sistema rigido non sottoposto a forze. Notiamo che ci si può sempre ridurre al caso di un sistema rigido con un punto fisso: se il sistema è libero se ne può descrivere il moto nel sistema di riferimento (inerziale) in cui il centro d'inerzia è fisso. Si tratta di una descrizione geometrica molto suggestiva, ma in fondo meno fondamentale di quella data, per esempio, nel paragrafo successivo: infatti mentre l'approccio che verrà seguito nella discussione analitica del paragrafo §46 si presta a un'estensione al caso in cui il sistema rigido sia sottoposto a forze, mediante l'utilizzazione del formalismo lagrangiano (cfr. la nota bibliografica), la descrizione secondo Poinsot non può essere generalizzata a tale caso, per lo meno non in modo altrettanto costruttivo.

Si ricordi la definizione di ellissoide d'inerzia 42.20. In ogni istante  $t$ , l'ellissoide d'inerzia  $\mathcal{E}$  occupa nello spazio  $\kappa$  la posizione  $\mathcal{E}_t \equiv B_t\mathcal{E}$ , tale che

$$\mathcal{E}_t = \{\boldsymbol{\omega} : \langle \boldsymbol{\omega}, i(t)\boldsymbol{\omega} \rangle = 1\}. \tag{45.1}$$

Si noti che  $\mathcal{E}_t$  si muove solidalmente con il sistema rigido. Infatti, se  $\boldsymbol{\omega} \in \mathcal{E}_t$ , allora

$\omega = B_t \Omega$ , con  $\Omega \in \mathcal{E}$ .

**45.2. LEMMA.** *Nel moto di un sistema rigido con un punto fisso, se  $\omega(t)$  è la velocità angolare del sistema rigido, allora  $\omega(t)/\sqrt{2T} \in \mathcal{E}_t$ .*

**45.3. Dimostrazione del lemma 45.2.** Si ha  $2T = \langle \omega(t), i(t)\omega(t) \rangle$ , quindi l'asserto segue immediatamente dalla (45.1). ■

**45.4. LEMMA.** *Se  $\omega \in \mathcal{E}_t$ , la normale a  $\mathcal{E}_t$  nel punto  $\omega$  è parallela al vettore  $i(t)\omega$ .*

**45.5. Dimostrazione del lemma 45.4.** La normale a  $\mathcal{E}_t$  in un punto  $\omega$  ha direzione data da  $\nabla \langle \omega, i(t)\omega \rangle = 2i(t)\omega$  (cfr. anche l'osservazione 42.23). ■

**45.6. TEOREMA (POINSON).** *L'ellissoide d'inerzia rotola senza strisciare su un piano fisso perpendicolare al vettore momento angolare.*

**45.7. Dimostrazione del teorema 45.6.** Consideriamo uno dei due piani perpendicolari a  $\mathbf{l}$  e tangenti all'ellissoide d'inerzia  $\mathcal{E}_t$ , e indichiamolo con  $\pi_0$ ; per concretezza supponiamo che sia quello che interseca la retta d'azione di  $\mathbf{l}$  in un punto che si trovi, rispetto al punto fisso, nella direzione di  $\mathbf{l}$ . Sia  $\xi$  il punto di tangenza di  $\mathcal{E}_t$  con  $\pi_0$ ; la normale all'ellissoide in  $\xi$  è parallela a  $\mathbf{l}$ . Poiché la normale è diretta secondo il vettore  $i(t)\xi$  (cfr. il lemma 45.4) e  $\mathbf{l} = i(t)\omega(t)$ , possiamo concludere, per il lemma 45.2, che si ha  $\xi = \omega(t)/\sqrt{2T}$ .

Quindi il piano  $\pi_0$  è tangente a  $\mathcal{E}_t$  nel punto  $\xi$  situato sulla retta d'azione dell'asse di moto. D'altra parte

$$\langle \xi, \mathbf{l} \rangle = \frac{1}{\sqrt{2T}} \langle \omega(t), \mathbf{l} \rangle = \frac{1}{\sqrt{2T}} \langle \omega(t), i(t)\omega(t) \rangle = \sqrt{2T}, \quad (45.2)$$

che implica che la distanza del piano  $\pi_0$  da  $O$  è costante, quindi il piano  $\pi_0$  è fisso. Cfr. la figura 45.1.

Poiché il punto di tangenza si trova sull'asse di moto, la sua velocità istantanea è nulla (potrebbe avere solo componente lungo la direzione di  $\omega(t)$ , ma questo non è possibile poiché il sistema è rigido e il punto  $O$ , che appartiene all'asse di moto, è fisso). Quindi il moto dell'ellissoide sul piano  $\pi_0$  è un moto di rotolamento senza strisciamento; cfr. il paragrafo §36.26. ■

**45.8. COROLLARIO.** *Per condizioni iniziali vicino alla rotazione stazionaria intorno all'asse maggiore o minore, la velocità angolare rimane vicino alla sua posizione iniziale non solo nel sistema di riferimento solidale con il sistema rigido ma anche in quello fisso.*

**45.9. Dimostrazione del corollario 45.8.** È stato dimostrato nel paragrafo §44.14: lo ritroviamo come conseguenza della costruzione del paragrafo §45.7. ■

**45.10. DEFINIZIONE (POLOIDE ED ERPOLOIDE).** *Il punto di contatto di  $\mathcal{E}_t$  con il*

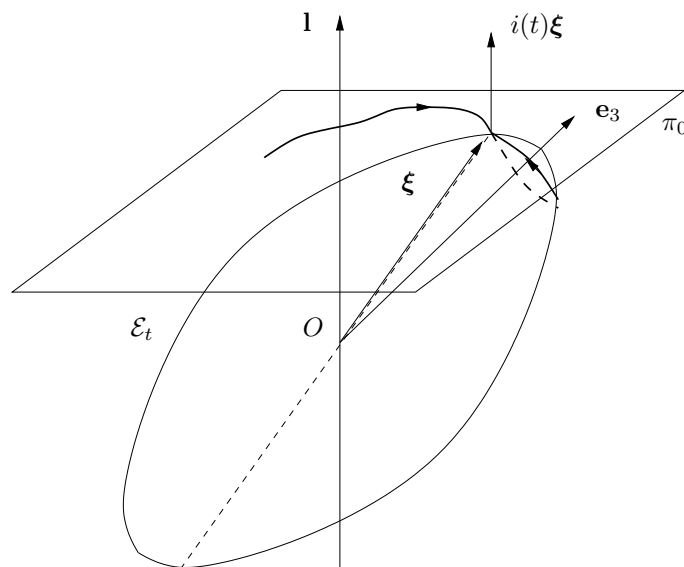


FIGURA 45.1. Descrizione del moto secondo Poincaré. L'asse di moto, individuato dalla retta d'azione del vettore  $\xi$ , descrive una curva chiusa sull'ellissoide d'inerzia (poloide) e una curva sul piano  $\pi_0$  (erpoloide).

piano  $\pi_0$  del teorema 45.6 descrive due curve, una su  $\pi_0$  (erpoloide) e una su  $\mathcal{E}_t$  (poloide).

**45.11. LEMMA.** *Se l'ellissoide d'inerzia è un ellissoide di rotazione intorno a un asse, la poloide e l'erpoloide sono entrambe delle circonferenze.*

**45.12. Dimostrazione del lemma 45.11.** Supponiamo che l'asse di simmetria rotazionale dell'ellissoide sia  $\mathbf{e}_3$ . Si ha che  $|\boldsymbol{\Omega}(t)|$  è una costante del moto (cfr. il paragrafo §44.18), e poiché  $|\boldsymbol{\omega}(t)| = |\boldsymbol{\Omega}(t)|$  anche  $|\boldsymbol{\omega}(t)|$  deve essere costante. Per la (45.2) la componente di  $\boldsymbol{\omega}(t)$  lungo  $\mathbf{l}$  è costante, quindi la proiezione di  $\boldsymbol{\omega}(t)$  su  $\pi_0$  descrive una circonferenza.

Inoltre l'angolo tra  $\boldsymbol{\omega}(t)$  e l'asse di simmetria  $B_t \mathbf{e}_3$  dell'ellissoide  $\mathcal{E}_t$  è costante, poiché

$$\langle \boldsymbol{\omega}(t), B_t \mathbf{e}_3 \rangle = \langle \boldsymbol{\Omega}, \mathbf{e}_3 \rangle = \Omega_3, \quad (45.3)$$

che è costante (cfr. il paragrafo §44.18). Quindi anche la poloide è una circonferenza.

■

**45.13. TEOREMA.** *Se il sistema rigido ha un ellissoide d'inerzia che è un ellissoide di rotazione, il vettore velocità angolare  $\boldsymbol{\omega}(t)$  e l'asse di simmetria (rotazionale) del sistema rigido ruotano con la stessa velocità angolare intorno al vettore momento*

angolare  $\mathbf{l}$ .

**45.14.** *Dimostrazione del teorema 45.13.* Supponiamo che l'asse di simmetria dell'ellissoide sia  $\mathbf{e}_3$ . In questo caso l'asse di simmetria dell'ellissoide  $B_t\mathbf{e}_3$  visto nel sistema di riferimento fisso, l'asse di moto (lungo il quale è diretto  $\boldsymbol{\omega}(t)$ ) e il momento angolare  $\mathbf{l}$  giacciono sullo stesso piano. Questo segue dal fatto che

$$\langle [\mathbf{l}, \boldsymbol{\omega}], B_t\mathbf{e}_3 \rangle = \langle [\mathbf{L}, \boldsymbol{\Omega}], \mathbf{e}_3 \rangle = 0. \quad (45.4)$$

Infatti possiamo scrivere  $\boldsymbol{\Omega} = \Omega_3\mathbf{e}_3 + \Omega_p\mathbf{e}_p$ , dove  $\mathbf{e}_p$  è un versore nel piano perpendicolare a  $\mathbf{e}_3$  (combinazione lineare di  $\mathbf{e}_1$  e  $\mathbf{e}_2$ ), e  $\mathbf{L} = L_3\mathbf{e}_3 + L_p\mathbf{e}_p$ , poiché  $\mathbf{L} = I\boldsymbol{\Omega} = I_1(\Omega_1\mathbf{e}_1 + \Omega_2\mathbf{e}_2) + I_3\Omega_3\mathbf{e}_3 = I_1\Omega_p\mathbf{e}_p + I_3\Omega_3\mathbf{e}_3$ . Quindi  $\boldsymbol{\Omega}$  e  $\mathbf{L}$  sono coplanari: indichiamo con  $\pi_1$  il piano che li contiene. Perciò  $[\mathbf{L}, \boldsymbol{\Omega}] = 0$  oppure  $[\mathbf{L}, \boldsymbol{\Omega}]$  è perpendicolare al piano  $\pi_1$ , e quindi al vettore  $\mathbf{e}_3$ , da cui segue la (45.4).

L'angolo compreso tra i vettori  $\boldsymbol{\omega}(t)$  e  $\mathbf{l}$  e l'angolo compreso tra  $\boldsymbol{\omega}(t)$  e  $B_t\mathbf{e}_3$  si conservano, per le (45.2) e (45.3): quindi i vettori  $\boldsymbol{\omega}(t)$  e  $B_t\mathbf{e}_3$  ruotano con velocità angolare costante  $\nu$  intorno a  $\mathbf{l}$ .

**45.15.** *Osservazione.* Nel caso di un ellissoide di rotazione, se scomponiamo il vettore  $\boldsymbol{\omega}$  in una componente  $\boldsymbol{\omega}'$  diretta lungo  $\mathbf{l}$  e una componente  $\boldsymbol{\omega}''$  lungo  $B_t\mathbf{e}_3$ , la prima sarà la velocità angolare della precessione,  $|\boldsymbol{\omega}'| = \omega_{\text{pr}}$ , poiché la seconda non contribuisce alla rotazione dell'asse del sistema rigido intorno a  $\mathbf{l}$ ; cfr. la figura 45.2.

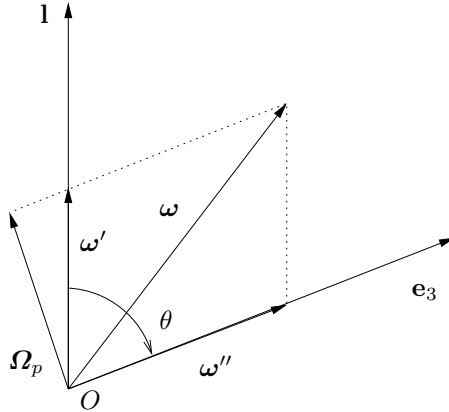


FIGURA 45.2. Costruzione grafica dell'osservazione 45.15.

Inoltre, se indichiamo con  $\theta$  l'angolo tra  $\mathbf{l}$  e  $B_t\mathbf{e}_3$ , si ha  $|\boldsymbol{\omega}'| \sin\theta = \Omega_p$  (con le notazioni dei paragrafi §45.14 e §44.18). Quindi, poiché  $\cos\theta = L_3/|\mathbf{L}|$  e  $\Omega_p = I_1^{-1}\sqrt{L_1^2 + L_2^2} = I_1^{-1}\sqrt{|\mathbf{L}|^2 - L_3^2}$ , si ottiene  $\omega_{\text{pr}} = |\mathbf{L}|/I_1$ . Poiché  $\boldsymbol{\omega}'$  è costante nel sistema di riferimento fisso e  $\boldsymbol{\omega}''$  è costante nel sistema di riferimento solidale con il

sistema rigido, la precessione descritta dal moto è una precessione regolare; cfr. la definizione 43.13.

**45.16. Osservazione.** Nel caso di un ellissoide di rotazione, se consideriamo i punti d'intersezione  $P_3(t)$  e  $P_\omega(t)$  delle rette d'azione di  $B_t\mathbf{e}_3$  e  $\omega(t)$ , rispettivamente, con il piano  $\pi_0$  del teorema 45.6, si ha che  $P_\omega(t)$  deve trovarsi sempre sulla retta congiungente  $P_3(t)$  al punto d'intersezione di  $\mathbf{l}$  con  $\pi_0$ . Questo vuol dire che l'ellissoide ruota con velocità angolare costante  $\mu$  intorno al proprio asse di simmetria, il quale ruota a sua volta con velocità angolare costante  $\nu$  intorno a  $\mathbf{l}$ . Quindi gli assi  $\omega(t)$  e  $B_t\mathbf{e}_3$  descrivono dei coni simmetrici intorno a  $\mathbf{l}$ , ruotando con velocità angolare costante  $\nu$ . Inoltre  $\omega(t)$  descrive un cono simmetrico intorno a  $B_t\mathbf{e}_3$ , ruotando con velocità angolare costante  $\mu$ . I due coni descritti da  $\omega(t)$  intorno a  $\mathbf{l}$  e da  $\omega(t)$  intorno a  $B_t\mathbf{e}_3$  (che sono i coni di Poinsot, secondo la definizione 36.27) ruotano senza strisciare l'uno sull'altro, e il rapporto delle due velocità angolari  $\nu$  e  $\mu$  è uguale all'inverso del rapporto dei raggi della poloide e dell'erpoloide. Con le notazioni dei paragrafi §44.18 e §45.15, abbiamo

$$\mu = \alpha = L_3 \left( \frac{1}{I_1} - \frac{1}{I_3} \right), \quad \nu = \omega_{\text{pr}} = \frac{|\mathbf{L}|}{I_1}, \quad (45.5)$$

tali che  $\omega_1 = \mu\mathbf{e}_3$  e  $\omega_2 = \nu\mathbf{e}_z$  rappresentano le due velocità angolari che, sommate, danno la precessione regolare che descrive il moto del sistema rigido (cfr. per le notazioni nel paragrafo §43.17).

**45.17. Osservazione.** Si possono utilizzare gli angoli che parametrizzano la posizione del punto di tangenza dell'ellissoide  $\mathcal{E}_t$  al piano  $\pi_0$  sulla poloide e sull'erpoloide, per dare una descrizione completa del moto del sistema rigido. Si noti che in generale l'erpoloide è una curva aperta sul piano  $\pi_0$ ; la poloide è invece sempre una curva chiusa, essendo il luogo dei punti dell'ellissoide individuati dal vettore  $\omega(t)$ . Quando il punto avrà fatto un giro completo sull'ellissoide, il sistema rigido avrà girato di un certo angolo  $\chi$  intorno all'asse individuato da  $\mathbf{l}$ , e così via: ogni giro sarà simile al precedente. Se  $\chi$  è commensurabile con  $2\pi$ , il moto nel suo complesso sarà periodico. Se  $\chi$  è incommensurabile con  $2\pi$  il sistema rigido non torna più allo stato di partenza; inoltre, in tal caso, il punto di tangenza ricopre sul piano in maniera ovunque densa un anello che ha centro nell'intersezione della retta passante per  $\mathbf{l}$  con il piano stesso. Una parametrizzazione più esplicita del moto sarà data nel paragrafo successivo.

## 46. Integrabilità di un sistema rigido con un punto fisso

**46.1. Introduzione.** Nel presente paragrafo diamo una differente soluzione al problema di determinare il moto di un sistema rigido non soggetto a forze con un punto

fisso, facendo vedere anche, come conseguenza della dimostrazione, che tale sistema costituisce un sistema integrabile, nel senso seguente.

Sia  $\mathcal{S}$  lo spazio dei dati iniziali di un sistema a  $n$  gradi di libertà sottoposto a forze conservative e vincoli ideali. Ricordiamo che si definisce costante del moto (o integrale primo) una quantità che rimane costante lungo le traiettorie di un sistema dinamico; cfr. il paragrafo §16.2.

Diremo che il sistema è *integrabile* nella regione aperta  $W \subset \mathcal{S}$  se è possibile definire su  $W$   $n$  integrali primi  $\mathbf{A} = (A_1, \dots, A_n) \in \mathbb{R}^n$  e  $n$  funzioni regolari  $\varphi = (\varphi_1, \dots, \varphi_n) \in \mathbb{T}^n$ , tali che

(1) la trasformazione

$$(\dot{\mathbf{q}}, \mathbf{q}) \rightarrow (\mathbf{A}, \varphi) \quad (46.1)$$

è una trasformazione invertibile e regolare tra  $W$  e  $\mathbb{R}^n \times \mathbb{T}^n$ ;

(2) esistono  $n$  funzioni  $\boldsymbol{\omega}(\mathbf{A}) = (\omega_1(\mathbf{A}), \dots, \omega_n(\mathbf{A}))$  tali che, nelle variabili  $(\mathbf{A}, \varphi)$  il moto è descritto dalla legge oraria

$$\mathbf{A}(t) = \mathbf{A}_0, \quad \varphi(t) = \varphi_0 + \boldsymbol{\omega}(\mathbf{A}_0)t, \quad (46.2)$$

dove  $(\mathbf{A}_0, \varphi_0)$  dipendono dai dati iniziali  $(\dot{\mathbf{q}}_0, \mathbf{q}_0)$ . Diremo in tal caso che il moto è *quasiperiodico*. Se le componenti del vettore  $\boldsymbol{\omega}(\mathbf{A})$  sono razionalmente indipendenti (*i.e.* se non esiste nessuna combinazione lineare a coefficienti interi che sia nulla) il moto quasiperiodico ha  $n$  periodi  $T_1 = 2\pi/\omega_1(\mathbf{A}), \dots, T_n = 2\pi/\omega_n(\mathbf{A})$ . Se invece le componenti sono razionalmente dipendenti (*e.g.* alcune di esse possono essere nulle), esisteranno  $q < n$  componenti  $\omega_{i_1}(\mathbf{A}), \dots, \omega_{i_q}(\mathbf{A})$ , con  $\{i_1, \dots, i_q\} \subset \{1, \dots, n\}$ , in termini delle quali si possono scrivere le restanti  $n - q$   $L$ : diremo in tal caso che il moto ha  $q$  *periodi fondamentali* (o periodi tout court)  $T_{i_1} = 2\pi/\omega_{i_1}(\mathbf{A}), \dots, T_{i_q} = 2\pi/\omega_{i_q}(\mathbf{A})$ .

**46.2. TEOREMA.** *Il moto di un sistema rigido non soggetto a forze con un punto fisso, il cui ellissoide d'inerzia sia un ellissoide di rotazione ( $I_1 = I_2$ ), costituisce un esempio di sistema integrabile nella regione dei dati iniziali in cui  $\mathbf{L} \neq \mathbf{0}$ . Il moto è quasiperiodico con due periodi  $T_1 = 2\pi/\omega_\varphi$  e  $T_2 = 2\pi/\omega_\psi$ , dove  $\omega_\varphi$  e  $\omega_\psi$  sono due costanti che dipendono dai dati iniziali.*

**46.3. Dimostrazione del teorema 46.2.** Poiché il momento angolare è un integrale primo, possiamo scegliere una terna di riferimento nel sistema fisso  $\kappa$  tale che  $\mathbf{l}$  sia parallelo all'asse  $\mathbf{e}_z$ . Quindi

$$\mathbf{l} = (0, 0, l_z), \quad l_z > 0, \quad (46.3)$$

(il caso  $l_z = 0$  corrisponde a un sistema rigido in quiete).

Allora la (43.7) dà, scrivendo  $l_z \mathbf{e}_z = L_1 \mathbf{e}_1 + L_2 \mathbf{e}_2 + L_3 \mathbf{e}_3 \equiv B\mathbf{L}$ ,

$$\begin{aligned} L_1 &= I_1 \Omega_1 = l_z \sin \theta \sin \psi, \\ L_2 &= I_1 \Omega_2 = l_z \sin \theta \cos \psi, \\ L_3 &= I_3 \Omega_3 = l_z \cos \theta, \end{aligned} \quad (46.4)$$

dove  $\boldsymbol{\Omega} = (\Omega_1, \Omega_2, \Omega_3)$  è data da (cfr. l'esercizio 27)

$$\begin{aligned}\Omega_1 &= \dot{\varphi} \sin \theta \sin \psi + \dot{\theta} \cos \psi, \\ \Omega_2 &= \dot{\varphi} \sin \theta \cos \psi - \dot{\theta} \sin \psi, \\ \Omega_3 &= \dot{\psi} + \dot{\varphi} \cos \theta,\end{aligned}\tag{46.5}$$

e  $\mathbf{L}$  ha modulo  $|\mathbf{L}| = l_z$ .

Se  $I_1 = I_2$  abbiamo dalla (44.12) che  $\Omega_3$  è costante, quindi possiamo concludere che le due quantità

$$l_z^2 = I_1^2 (\dot{\varphi}^2 \sin^2 \theta + \dot{\theta}^2) + I_3^2 \Omega_3^2, \quad L_3 = I_3 \dot{\varphi} \cos \theta + I_3 \dot{\psi}\tag{46.6}$$

sono costanti del moto.

Consideriamo dunque insieme le equazioni (46.4) e (46.6) (tenendo conto delle relazioni (46.5)). Si tratta di un numero ridondante di equazioni (sono 5 equazioni in 3 incognite), tuttavia in questo modo è immediato determinare la soluzione del moto  $(\varphi(t), \theta(t), \psi(t))$  in termini dei dati iniziali  $(\varphi_0, \theta_0, \psi_0)$  e  $(\dot{\varphi}_0, \dot{\theta}_0, \dot{\psi}_0)$ .

La seconda delle (46.6) e la terza delle (46.4) implicano che  $\cos \theta$  è costante; quindi

$$\theta(t) = \theta_0, \quad \forall t \in \mathbb{R}.\tag{46.7}$$

Sostituendo la (46.7) nella prima delle (46.6) troviamo che  $\dot{\varphi}$  è costante; quindi

$$\varphi(t) = \varphi_0 + \dot{\varphi}_0 t, \quad \forall t \in \mathbb{R}.\tag{46.8}$$

Le (46.7), (46.8) e la seconda delle (46.6) implicano che anche  $\dot{\psi}$  è costante, così che

$$\psi(t) = \psi_0 + \dot{\psi}_0 t, \quad \forall t \in \mathbb{R}.\tag{46.9}$$

Possiamo allora scegliere come integrali primi l'angolo  $\delta$  che il momento angolare forma con l'asse verticale (angolo che abbiamo fissato a zero nel sistema di riferimento scelto) e le due frequenze  $\dot{\varphi}_0$  e  $\dot{\psi}_0$ . Come angoli scegliamo  $(\gamma, \varphi, \psi)$ , dove  $\gamma$  è l'angolo che un versore prefissato perpendicolare a  $\mathbf{l}$  forma con  $\mathbf{e}_x$  (ed è quindi costante). Da qui segue l'asserto, con  $\omega_\varphi = \dot{\varphi}_0$  e  $\omega_\psi = \dot{\psi}_0$ . ■

**46.4. TEOREMA.** *Sia  $V(x)$  la funzione data da*

$$V(x) = -\frac{[(2EI_3 - L^2) - (I_3 - I_2)I_2x^2][(L^2 - 2EI_1) - (I_2 - I_1)I_2x^2]}{I_1I_2^2I_3},\tag{46.10}$$

dove  $E$  è l'energia del sistema rigido,  $L = |\mathbf{L}|$ , se  $\mathbf{L}$  è il momento angolare, e siano  $\pm a_1, \pm a_3$  le radici di  $V(x) = 0$ . Il moto di un sistema rigido non soggetto a forze con un punto fisso, il cui ellissoide d'inerzia è tale che  $I_1 < I_2 < I_3$ , costituisce un

esempio di sistema integrabile nella regione dei dati iniziali con  $\mathbf{L} \neq \mathbf{0}$  e  $a_1 \neq a_3$ . Il moto è quasiperiodico con due periodi

$$T_1 = 2 \int_{\alpha_-}^{\alpha_+} \frac{dx}{\sqrt{-V(x)}}, \quad (46.11)$$

$$T_2 = \frac{2\pi}{L} \int_{\alpha_-}^{\alpha_+} \frac{dx}{\sqrt{-V(x)}} \left[ \int_{\alpha_-}^{\alpha_+} \frac{dx}{\sqrt{-V(x)}} \left( \frac{(2EI_3 - L^2) - (I_1 - I_2)I_2 x^2}{I_1(2EI_3 - L^2) - I_2 I_3 (I_1 - I_2) x^2} \right) \right]^{-1},$$

dove  $\alpha_{\pm}$  sono le due radici più piccole in modulo di  $V(x) = 0$ , i.e.  $\alpha_+ = \min\{a_1, a_3\}$  e  $\alpha_- = -\alpha_+$ .

**46.5.** *Dimostrazione del teorema 46.4.* Le equazioni (44.6), scrivendo  $\mathbf{L} = I\boldsymbol{\Omega}$ , permettono di esprimere due delle tre componenti di  $\boldsymbol{\Omega}$  in termini della terza, e.g.

$$\Omega_1 = \pm \sqrt{\frac{(2EI_3 - L^2) - (I_3 - I_2)I_2\Omega_2^2}{I_1(I_3 - I_1)}}, \quad (46.12)$$

$$\Omega_3 = \pm \sqrt{\frac{(L^2 - 2EI_1) - (I_2 - I_1)I_2\Omega_2^2}{I_3(I_3 - I_1)}}.$$

Utilizzando quindi la seconda delle equazioni di Eulero (44.3), con  $\Omega_1$  e  $\Omega_3$  espresse in termini di  $\Omega_2$  secondo le (46.12), troviamo un'equazione chiusa per  $\Omega_2$ :

$$\dot{\Omega}_2 = \pm \sqrt{\frac{[(2EI_3 - L^2) - (I_3 - I_2)I_2\Omega_2^2][(L^2 - 2EI_1) - (I_2 - I_1)I_2\Omega_2^2]}{I_1 I_2^2 I_3}}. \quad (46.13)$$

La discussione del segno in (46.13) si effettua come usuale nei sistemi unidimensionali, cfr. il capitolo 6. Inizialmente  $\Omega_2$  ha un segno che conserva finché non diventa nullo, quindi il segno cambia fino al successivo tempo in cui si annulla, e così via, con alternanza.

La (46.13) si può interpretare come legge del moto di un sistema unidimensionale di massa  $m = 2$ , energia  $e = 0$  ed energia potenziale  $V(\Omega_2)$  data dalla (46.10) con  $x = \Omega_2$  (cfr. la figura 46.1), i.e.

$$2\ddot{\Omega}_2 = -\frac{dV(\Omega_2)}{d\Omega_2}. \quad (46.14)$$

Possiamo dunque concludere che  $t \rightarrow \Omega_2(t)$  è una funzione periodica di  $t$  che oscilla tra due valori  $\alpha_-$  e  $\alpha_+$  che sono gli estremi del più piccolo dei due intervalli  $(-a_1, a_1)$  e  $(-a_3, a_3)$ , se  $\pm a_1$  e  $\pm a_3$  sono le radici di  $V(x) = 0$ , i.e.

$$a_1 = \sqrt{\frac{2EI_3 - L^2}{I_2(I_3 - I_2)}}, \quad a_3 = \sqrt{\frac{L^2 - 2EI_1}{I_2(I_2 - I_1)}}, \quad (46.15)$$

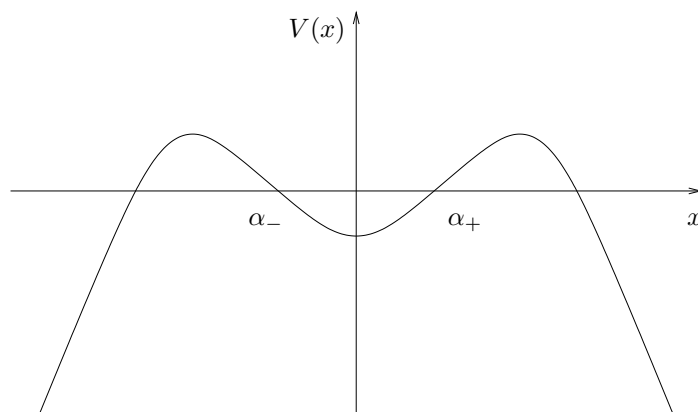


FIGURA 46.1 Grafico della funzione  $V(x)$  data dalla (46.10).

purché sia  $a_1 \neq a_3$ , altrimenti  $V(x) = 0$  ha solo due soluzioni  $\pm a$ , con  $[dV/dx](\pm a) = 0$ , e quindi il moto risultante sarà non periodico (più precisamente asintotico). Il periodo del moto  $t \rightarrow \Omega_2$  è quindi dato da  $T_1$ , come definito dalla prima delle (46.11).

Se definiamo  $t \rightarrow \Omega(t)$  la soluzione di (46.14) con dati iniziali  $(\Omega(0), \dot{\Omega}) = (\alpha_-, 0)$ , allora

$$\Omega_2(t) = \Omega(t + t_0), \tag{46.16}$$

se  $t_0$  è il tempo (minimo) necessario perché la soluzione  $(\Omega(t), \dot{\Omega}(t))$  raggiunga il “dato iniziale”  $(\Omega_2(0), \dot{\Omega}_2(0))$ , *i.e.*

$$t_0 = \int_{\alpha_-}^{\Omega_2(0)} \frac{dx}{\sqrt{-V(x)}}. \tag{46.17}$$

Inoltre, per  $0 \leq t \leq T_1$ , si ha

$$t = \int_{\alpha_-}^{\Omega(t)} \frac{dx}{\sqrt{-V(x)}}, \tag{46.18}$$

che stabilisce una corrispondenza biunivoca tra  $t$  e  $\Omega \equiv \Omega(t)$ .

Per determinare la configurazione del sistema rigido abbiamo bisogno di tre parametri: possiamo scegliere come coordinate gli angoli di Eulero. Se scegliamo la terna di riferimento in  $\kappa$  in modo tale che  $\mathbf{l}$  risulti parallelo all’asse  $\mathbf{e}_z$  (cfr. la (46.3)), e risulti di conseguenza  $L \equiv |\mathbf{L}| = |\mathbf{l}| = l_z$ , si ha

$$\begin{aligned} I_1 \Omega_1 &= L \sin \theta \sin \psi, \\ I_2 \Omega_2 &= L \sin \theta \cos \psi, \\ I_3 \Omega_3 &= L \cos \theta, \end{aligned} \tag{46.19}$$

e quindi

$$\theta(t) = \arccos \frac{I_3 \Omega_3(t)}{L}, \quad \psi(t) = \arctan \frac{I_1 \Omega_1(t)}{I_2 \Omega_2(t)}, \quad (46.20)$$

dove la determinazione dell'arcotangente deve essere scelta in maniera tale che  $t \rightarrow \psi(t)$  sia continua.

Quindi, ricordando le (46.12), abbiamo che  $\theta$  e  $\psi$  sono state espresse in termini di  $\Omega_2$ ; resta da determinare la dipendenza dal tempo del terzo angolo  $\varphi$ . Dalla prima e dalla seconda delle (46.5), per esclusione di  $\dot{\theta}$ , si deduce che

$$\dot{\varphi} = \frac{\Omega_1 \sin \psi + \Omega_2 \cos \psi}{\sin \theta} = L \frac{I_1 \Omega_1^2 + I_2 \Omega_2^2}{I_1^2 \Omega_1^2 + I_2^2 \Omega_2^2}, \quad (46.21)$$

dove la seconda relazione è stata ottenuta dalla prima attraverso le prime due equazioni in (46.19), che implicano

$$\frac{\sin \psi}{\sin \theta} = \frac{I_1 \Omega_1}{L \sin^2 \theta}, \quad \frac{\cos \psi}{\sin \theta} = \frac{I_2 \Omega_2}{L \sin^2 \theta}, \quad \sin^2 \theta = \frac{I_1^2 \Omega_1^2 + I_2^2 \Omega_2^2}{L^2}. \quad (46.22)$$

Poiché  $t \rightarrow \Omega_2(t)$  è periodica di periodo  $T_1$ , e  $\Omega_1(t)$  dipende da  $t$  attraverso  $\Omega_2$  (cfr. la (46.21)), il membro di destra di (46.21) è una funzione periodica di periodo  $T_1$ . Quindi

$$\dot{\varphi} = \Phi(t + t_0), \quad \Phi(t) = \sum_{n=-\infty}^{+\infty} \chi_n e^{2\pi i n t / T_1}, \quad (46.23)$$

dove  $\Phi(t + t_0)$  si ottiene dal membro di destra della (46.21) scrivendo  $\Omega_1(t)$  in termini di  $\Omega_2(t)$ , e quindi sostituendo  $\Omega_2(t)$ , ovunque appaia, con  $\Omega(t + t_0)$ , definito in (46.16). Quindi, integrando la (46.23),

$$\varphi(t) = \varphi_0 + \chi_0 t + S(t + t_0) - S(t_0), \quad S(t) = \sum_{\substack{n=-\infty \\ n \neq 0}}^{+\infty} \chi_n \frac{e^{2\pi i n t / T_1}}{2\pi i n / T_1}, \quad (46.24)$$

dove  $t \rightarrow S(t)$  è una funzione periodica di periodo  $T_1$ .

In conclusione abbiamo tre integrali primi: l'energia  $E$ , il modulo del momento angolare  $L$  e l'angolo  $\delta$  che il momento angolare forma con l'asse verticale (angolo che abbiamo fissato a zero, con la scelta fatta della terna del sistema di riferimento).

Scegliamo tre angoli  $(\gamma, \tilde{\varphi}, \tilde{\psi})$  nel modo seguente. Come  $\gamma$  si può scegliere l'angolo che un versore prefissato perpendicolare a  $\mathbf{l}$  forma con  $\mathbf{e}_x$ , che è quindi costante (e.g.  $\gamma = 0$ ); poniamo inoltre

$$\tilde{\psi} = \frac{2\pi}{T_1} t_0, \quad \tilde{\varphi} = \varphi - S(t_0), \quad (46.25)$$

dove  $t_0$  è definito dopo la (46.16) come il tempo necessario per andare da  $(\alpha_-, 0)$  a  $(\Omega_2(0), \dot{\Omega}_2(0))$ .

Se teniamo conto della definizione di  $t_0$  dopo la (46.16), possiamo considerare  $t_0$  come funzione di  $t$  attraverso la relazione  $t_0 = t_0(\Omega_2(t))$ , *i.e.*

$$t_0 = t_0(\Omega_2(t)) = \int_{\alpha_-}^{\Omega_2(t)} \frac{dx}{\sqrt{-V(x)}}, \quad (46.26)$$

così che se  $t_0 \equiv t_0(\Omega_2(0))$  è il tempo per andare da  $\alpha_-$  a  $\Omega_2(0)$ , il tempo per andare da  $\alpha_-$  a  $\Omega_2(t)$  sarà semplicemente  $t_0(\Omega_2(t)) = t_0 + t$ . Di conseguenza anche  $S(t + t_0) \equiv \tilde{S}(t_0(\Omega_2(t)))$  può essere vista come funzione di  $t_0(\Omega_2(t))$ , così che, in conclusione, la dipendenza dal tempo degli angoli (46.25) può essere espressa attraverso le relazioni

$$\tilde{\psi}(t) = \frac{2\pi}{T_1} t_0(\Omega_2(t)), \quad \tilde{\varphi}(t) = \varphi(t) - \tilde{S}(t_0(\Omega_2(t))). \quad (46.27)$$

Da qui segue allora che  $\tilde{\psi}$  ruota con periodo  $T_1$ , mentre  $\tilde{\varphi}$  ruota con periodo  $2\pi/\chi_0$  (cfr. la (46.24)). Infatti abbiamo

$$\tilde{\psi}(t + T_1) = \frac{2\pi}{T_1} t_0(\Omega_2(t + T_1)) = \frac{2\pi}{T_1} [t_0(\Omega_2(t)) + T_1] = \frac{2\pi}{T_1} \tilde{\psi}(t) + 2\pi, \quad (46.28)$$

poiché il moto  $t \rightarrow \Omega_2(t)$  è periodico di periodo  $T_1$ , e

$$\begin{aligned} \tilde{\varphi}(t + 2\pi/\chi_0) &= \varphi(t + 2\pi/\chi_0) - \tilde{S}(t_0(\Omega_2(t + 2\pi/\chi_0))) \\ &= \varphi_0 + \chi_0 [t + 2\pi/\chi_0] - \tilde{S}(t_0(\Omega_2(0))) = \tilde{\varphi}(t) + 2\pi, \end{aligned} \quad (46.29)$$

poiché  $S(t_0) = \tilde{S}(t_0(\Omega_2(t)))$  in (46.25) (cfr. la (46.27)), laddove  $S(t_0)$  deve essere considerata una costante nell'espressione di  $\varphi(t)$  in (46.24) (poiché in (46.24)  $S(t_0)$  non è funzione di  $t$ , *i.e.*  $t_0 = t_0(\Omega_2(0))$ ).

È immediato verificare, dalla (46.26) e dalla (46.13), che

$$\begin{aligned} \frac{dt_0(\Omega_2(t))}{dt} &= \frac{dt_0(\Omega_2)}{d\Omega_2} \frac{d\Omega_2}{dt} = \frac{1}{\sqrt{-V(\Omega_2(t))}} \sqrt{-V(\Omega_2(t))} = 1, \\ \frac{d\tilde{\varphi}(t)}{dt} &= \frac{d}{dt} [\varphi_0 + \chi_0 t - \tilde{S}(t_0(\Omega_2(0)))] = \chi_0, \end{aligned} \quad (46.30)$$

così che, dalle (46.29) e (46.30), concludiamo che  $\tilde{\psi}$  e  $\tilde{\varphi}$  sono angoli che ruotano uniformemente con periodi, rispettivamente,  $T_1$  e  $2\pi/\chi_0$ . Si noti che la prima delle (46.30) è in realtà una semplice verifica, poiché già abbiamo osservato che  $t_0(\Omega_2(t)) = t_0(\Omega_2(0)) + t \equiv t_0 + t$ , così che  $dt_0(\Omega_2(t))/dt = 1$ .

Dalla definizione di  $\chi_n$  in (46.23) abbiamo che

$$\chi_0 = \frac{1}{T_1} \int_0^{T_1} dt \Phi(t); \quad (46.31)$$

effettuando il cambio di variabili  $t \rightarrow \Omega(t) \equiv \Omega$ , si vede che, tenendo conto che

$$dt = \frac{d\Omega}{\sqrt{-V(\Omega)}}, \quad \Omega(0) = \alpha_-, \quad \Omega(T_1) = \alpha_+, \quad (46.32)$$

otteniamo che  $\chi_0$  in (46.31) si può riscrivere

$$\chi_0 = \frac{2}{T_1} \int_{\alpha_-}^{\alpha_+} \frac{d\Omega}{\sqrt{-V(\Omega)}} \Phi(t(\Omega)), \quad (46.33)$$

e quindi, tenendo conto della definizione di  $T_1$ , segue anche la seconda di (46.11), con  $T_2 = 2\pi/\chi_0$ . La determinazione della soluzione delle equazioni del moto è stata quindi ridotta alle due “quadrature” (46.11). ■

**46.6. Osservazione.** In generale le coordinate scelte nel paragrafo §46.5 non si riducono a quelle del caso simmetrico ( $I_1 = I_2$ ) introdotte nel paragrafo §46.3, quando  $I_1 \rightarrow I_2$ . Si osservi tuttavia che c'è grande arbitrarietà nel definire gli integrali primi, perché ogni funzione di  $(\delta, E, L)$  è ancora un integrale primo. È allora possibile scegliere due integrali primi  $\Phi$  e  $\Psi$  che divengano  $\dot{\varphi}_0$  e  $\dot{\psi}_0$  per  $I_1 \rightarrow I_2$ ; si pone

$$\begin{aligned} \Phi &= \frac{1}{T_1} \int_0^{T_1} dt L \frac{I_1 \tilde{\Omega}_1^2(t) + I_1 \tilde{\Omega}_2^2(t)}{I_1^2 \tilde{\Omega}_1^2(t) + I_1^2 \tilde{\Omega}_2^2(t)}, \\ \Psi &= \frac{1}{T_1} \int_0^{T_1} dt \frac{(L^2 - 2EI_3) \tilde{\Omega}_3(t)}{I_1^2 \tilde{\Omega}_1^2(t) + I_1^2 \tilde{\Omega}_2^2(t)}, \end{aligned} \quad (46.34)$$

dove  $\tilde{\Omega}_2(t) = \Omega(t)$ , mentre  $\tilde{\Omega}_1(t)$  e  $\tilde{\Omega}_3(t)$  si ottengono dalle (46.12) sostituendo  $\Omega_2(t)$  con  $\tilde{\Omega}_2(t)$ , e l'ambiguità di segno di  $\tilde{\Omega}_3(t)$  è risolta notando che  $\Omega_3(t)$  in (46.12) non si annulla mai per  $L \neq 0$ , e quindi ha segno costante univocamente determinato dal valore iniziale. Se ricordiamo la (46.21) e notiamo che, analogamente, utilizzando la (46.6) e la (46.21) stessa, risulta

$$\dot{\psi} = \frac{L^2 - 2EI_3}{I_1^2 \Omega_1^2 + I_2^2 \Omega_2^2} \Omega_3, \quad (46.35)$$

si deduce che le (46.34) esprimono le medie su un periodo di  $\dot{\varphi}$  e  $\dot{\psi}$ , e si riducono quindi alle frequenze  $\omega_\varphi$  e  $\omega_\psi$  del teorema 46.2 per  $I_1 = I_2$ . Notiamo incidentalmente che, per  $I_1 = I_2$ , otteniamo dalle (46.25),  $\Phi \equiv \dot{\varphi} = L/I_1$  e  $\Psi \equiv \dot{\psi} = L_3(I_1^{-1} - I_3^{-1})$ , consistentemente con le (45.5).

Ovviamente si potrebbe anche cambiare  $\tilde{\psi}$  in un angolo che si riduce a  $\psi$  per  $I_1 \rightarrow I_2$  (e utilizzare  $\varphi$  in luogo di  $\tilde{\varphi}$ ).

**46.7. Osservazione.** Le trasformazioni di coordinate, che, nei paragrafi §46.3 e §46.5, portano alle nuove variabili, sono regolari e invertibili (come richiede la definizione

di integrabilità, cfr. il paragrafo §46.1): questo può essere esplicitamente verificato senza difficoltà (cfr. l'esercizio 28).

## Nota bibliografica

Per definizioni e proprietà dell'ellissoide d'inerzia abbiamo fatto riferimento essenzialmente a [Arnol'd2], Cap. VI. Per gli angoli di Eulero abbiamo seguito [Gallavotti], Cap. 3, mentre, riguardo allo studio delle precessioni regolari, abbiamo fatto riferimento a [Levi-Civita-Amaldi], Vol. 1, Cap. IV.

Il paragrafo §44 segue principalmente [Arnol'd2], Cap. VI, e, in misura minore, [Landau-Lifshitz], Cap. VI, il paragrafo §45 segue [Arnol'd2], Cap. VI, [Dell'Antonio], Cap. V, il paragrafo §46 è infine tratto da [Gallavotti], Cap. 5.

## Esercizi

**Esercizio 1.** Verificare le (42.5) e (42.6).

**Esercizio 2.** Dimostrare che in uno spazio vettoriale  $E$ , dato un operatore lineare simmetrico positivo  $A$ , i suoi autovalori sono tutti positivi. [*Soluzione.* Poiché  $\langle x, Ax \rangle \geq 0$  per ogni  $x \in E$ , se si ha  $Av = \lambda v$ , allora  $\langle v, Av \rangle = \lambda \langle v, v \rangle = \lambda |v|^2 \geq 0$ , quindi  $\lambda \geq 0$ .]

**Esercizio 3.** Dimostrare che se l'ellissoide d'inerzia  $\mathcal{E}$  ammette un asse  $\mathbf{e}$  di simmetria di ordine 2, allora  $\mathbf{e}$  è un asse d'inerzia.

**Esercizio 4.** Dimostrare che, dato un ellissoide d'inerzia  $\mathcal{E}$ , se  $\mathbf{e}$  è un asse di simmetria di ordine  $n > 2$ , allora  $\mathbf{e}$  è un asse di simmetria rotazionale per  $\mathcal{E}$ .

**Esercizio 5.** Dimostrare che, se un sistema rigido ammette due assi di simmetria di ordine  $n > 2$  distinti, allora il suo ellissoide di rotazione deve essere una sfera.

**Esercizio 6.** Dimostrare che, se un sistema rigido ammette due assi di simmetria distinti tali che l'angolo tra esse sia diverso da  $\pi/2$  e almeno uno dei due sia un asse di simmetria di ordine  $n > 2$ , allora il suo ellissoide di rotazione deve essere una sfera.

**Esercizio 7.** Data una superficie  $\Sigma$  in  $\mathbb{R}^n$  definita dalla relazione  $G(x) = 0$ , mostrare che il vettore normale alla superficie  $\Sigma$  nel suo punto  $x$  è diretto lungo il vettore  $\nabla G(x)$ . [*Suggerimento.* Ragionare come nel paragrafo §21.7.]

**Esercizio 8.** Verificare che per un sistema rigido continuo la coordinata del centro di massa  $O$  è definita come l'integrale

$$\mathbf{q}_O = \frac{1}{M} \int_C d\mathbf{Q} \rho(\mathbf{Q}) \mathbf{Q}, \quad M = \int_C d\mathbf{Q} \rho(\mathbf{Q}),$$

dove  $\rho(\mathbf{Q})$  è la densità di massa. [*Suggerimento.* Si parta dalla definizione 36.9 di centro di massa data per un sistema di punti materiali e si ragioni come nel paragrafo §42.27.]

**Esercizio 9.** Dimostrare le (42.27). [*Suggerimento.* Si tenga conto dell'osservazione 42.24 e si

386 CAPITOLO 10. PROPRIETÀ DEI SISTEMI RIGIDI

applichi la definizione 42.16.]

**Esercizio 10.** Dimostrare le (42.28). [*Soluzione.* Si ha

$$I_1 = I_2 = \lambda \int_{-\ell/2}^{\ell/2} dx x^2, \quad I_3 = 0,$$

come segue dalla definizione 42.16 e dall'osservazione 42.24.]

**Esercizio 11.** Dimostrare le (42.29). [*Soluzione.* Utilizzando coordinate polari si ha

$$I_1 = I_2 = \lambda \int_0^{2\pi} r d\theta r^2 \sin^2 \theta, \quad I_3 = \lambda \int_0^{2\pi} r d\theta r^2 \theta,$$

come segue dalla definizione 42.16 e dall'osservazione 42.24.]

**Esercizio 12.** Dimostrare le (42.30). [*Soluzione.* Utilizzando coordinate polari si ha

$$I_1 = I_2 = \sigma \int_0^r dr' \int_0^{2\pi} r' d\theta (r')^2 \sin^2 \theta, \quad I_3 = \sigma \int_0^r dr' \int_0^{2\pi} r' d\theta (r')^2,$$

come segue dalla definizione 42.16 e dall'osservazione 42.24.]

**Esercizio 13.** Dimostrare le (42.31). [*Soluzione.* Si ragioni come per l'esercizio precedente, con l'unica differenza che ora  $r'$  va integrato tra  $a$  e  $b$ .]

**Esercizio 14.** Dimostrare le (42.32). [*Soluzione.* Utilizzando coordinate cilindriche si ha

$$I_1 = I_2 = \rho \int_0^r dr' \int_0^{2\pi} r' d\theta \int_{-h/2}^{h/2} dz (z^2 + (r')^2 \sin^2 \theta),$$

$$I_3 = \rho \int_0^r dr' \int_0^{2\pi} r' d\theta \int_{-h/2}^{h/2} dz (r')^2,$$

come segue dalla definizione 42.16 e dall'osservazione 42.24.]

**Esercizio 15.** Dimostrare che il momento d'inerzia di un cilindro circolare retto rispetto a un asse  $\mathbf{e}$  passante per un diametro di una delle due basi è dato da  $I_{\mathbf{e}} = m(h^2/3 + r^2/4)$ . [*Suggerimento.* Combinare le (42.32) con il teorema 42.25.]

**Esercizio 16.** Dimostrare le (42.33). [*Soluzione.* Utilizzando coordinate sferiche si ha

$$I_1 = I_2 = I_3 = \rho \int_0^r dr' \int_0^\pi (r')^2 \sin \theta d\theta \int_0^{2\pi} d\varphi (r')^2 \sin^2 \theta,$$

come segue dalla definizione 42.16, dalla discussione del paragrafo §42.22 e dall'osservazione 42.24.]

**Esercizio 17.** Dimostrare che il momento d'inerzia di una sfera rispetto a un asse  $\mathbf{e}$  tangente alla superficie è dato da  $I_{\mathbf{e}} = 7mr^2/5$ . [*Suggerimento.* Combinare le (42.33) con il teorema 42.25.]

**Esercizio 18.** Dimostrare le (42.34). [*Suggerimento.* Si ha

$$I_1 = \sigma \int_{-a/2}^{a/2} dx \int_{-b/2}^{b/2} dy y^2, \quad I_2 = \sigma \int_{-a/2}^{a/2} dx \int_{-b/2}^{b/2} dy x^2,$$

$$I_3 = \sigma \int_{-a/2}^{a/2} dx \int_{-b/2}^{b/2} dy (x^2 + y^2),$$

come segue dalla definizione 42.16 e dall'osservazione 42.24.]

**Esercizio 19.** Dimostrare le (42.35). [*Suggerimento.* L'angolo al vertice del cono  $\alpha$  è tale che  $\tan \alpha = r/h$ ; quindi il centro di massa avrà coordinate  $(0, 0, z_0)$ , con

$$z_0 = \frac{1}{m} \left( \rho \int_0^h z \, dz \int_0^{rz/h} r' \, dr' \int_0^{2\pi} d\theta \right) = \frac{3}{4}h.$$

Quindi si ha

$$I_1 = I_2 = \rho \int_0^h dz \int_0^{rz/h} r' \, dr' \int_0^{2\pi} d\theta \left( (z - z_0)^2 + (\rho')^2 \sin^2 \theta \right),$$

$$I_3 = \rho \int_0^h dz \int_0^{rz/h} r' \, dr' \int_0^{2\pi} d\theta (r')^2,$$

avendo tenuto conto della definizione 42.16 e dell'osservazione 42.24.]

**Esercizio 20.** Dimostrare che il momento d'inerzia di un cono circolare retto rispetto a un asse  $\mathbf{e}$  passante per il vertice e perpendicolare all'asse del cono è dato da  $I_{\mathbf{e}} = 3m(h^2/5 + r^2/20)$ . [*Suggerimento.* Combinare le (42.35) con il teorema 42.25.]

**Esercizio 21.** Dimostrare che nella discussione delle equazioni di Eulero (44.3), per  $\sqrt{2EI_2} < L < \sqrt{2EI_3}$ , l'intersezione dell'ellissoide  $\langle \mathbf{L}, I^{-1}\mathbf{L} \rangle = 2E$  con la sfera  $\langle \mathbf{L}, \mathbf{L} \rangle = L^2$  consiste in due curve chiuse che si avvolgono intorno all'asse  $\mathbf{e}_3$ . [*Soluzione.* Le curve d'intersezione sono curve in  $\mathbb{R}^3$ , quindi possono essere parametrizzate come  $(L_1, L_2) \rightarrow L_3 = f(L_1, L_2)$ . Usando coordinate polari si ha  $(L_1, L_2) = (\rho \cos \theta, \rho \sin \theta)$ , con  $\rho \in \mathbb{R}_+$  e  $\theta \in \mathbb{R}$ : infatti in principio le curve potrebbero non chiudersi. Noi vogliamo appunto dimostrare che, dopo che  $\theta$  ha compiuto un giro completo di  $2\pi$ , le curve si sono chiuse. Dalle (44.6) si vede subito che, dati  $L_1$  e  $L_2$  sono definiti due valori di  $L_3$ , quindi le curve sono due; inoltre si ha

$$\frac{\rho^2 \cos^2 \theta}{I_1} + \frac{\rho^2 \sin^2 \theta}{I_2} + \frac{L^2 - \rho^2}{I_3} = 2E,$$

quindi, esplicitando  $\rho$  in funzione di  $\theta$ ,

$$\rho^2 = \frac{2EI_3 - L^2}{\frac{I_3}{I_1} \cos^2 \theta + \frac{I_3}{I_2} \sin^2 \theta - 1},$$

dove  $2EI_3 - L^2 > 0$  e  $I_3 \cos^2 \theta / I_1 + I_3 \sin^2 \theta / I_2 - 1 > 0$ , così che  $\rho = \rho(\theta)$  è univocamente determinata come funzione periodica di  $\theta$ . Pertanto  $f(L_1, L_2) = f(\rho(\theta) \cos \theta, \rho(\theta) \sin \theta) \equiv G(\theta)$  è una funzione periodica di  $\theta$  di periodo  $2\pi$ .]

**Esercizio 22.** Dimostrare che nella discussione delle equazioni di Eulero (44.3), per  $\sqrt{2EI_1} < L < \sqrt{2EI_2}$ , l'intersezione dell'ellissoide  $\langle \mathbf{L}, I^{-1}\mathbf{L} \rangle = 2E$  con la sfera  $\langle \mathbf{L}, \mathbf{L} \rangle = L^2$  consiste in due curve chiuse che si avvolgono intorno all'asse  $\mathbf{e}_1$ . [*Suggerimento.* Ragionare analogamente a quanto fatto nell'esercizio 21.]

**Esercizio 23.** Verificare che le curve degli esercizi 21 e 22 non sono curve piane. [*Suggerimento.* Basta far vedere che la funzione  $G(\theta)$  definita nello svolgimento dell'esercizio 21 non è costante in  $\theta$ .]

**Esercizio 24.** Dimostrare che l'intersezione di una sfera di raggio  $R$  e centro  $C$  con un piano  $\pi$  passante per  $C$  definisce un cerchio di raggio  $R$  e centro  $C$ . [*Suggerimento.* Si ricordi che l'equazione generale di un piano è data da  $ax + by + cz + d = 0$ , con  $a, b, c, d$  costanti reali. Possiamo fissare un sistema di riferimento con origine in  $C$ , così che l'equazione del piano diventa  $ax + by + cz = 0$

388 CAPITOLO 10. PROPRIETÀ DEI SISTEMI RIGIDI

e l'equazione della sfera diventa  $x^2 + y^2 + z^2 = R^2$ . Attraverso una rotazione  $(x, y, z) \rightarrow (x', y', z')$  possiamo trasformare l'equazione del piano in  $z' = 0$ , mentre l'equazione della sfera rimane  $x'^2 + y'^2 + z'^2 = R^2$ . Quindi l'intersezione della sfera con il piano individua il cerchio  $x'^2 + y'^2 = R^2$ .]

**Esercizio 25.** Dimostrare che, per  $I_1 = I_2$  e  $\sqrt{2EI_1} < L < \sqrt{2EI_3}$ , l'intersezione dell'ellissoide  $\langle \mathbf{L}, I^{-1}\mathbf{L} \rangle = 2E$  con la sfera  $\langle \mathbf{L}, \mathbf{L} \rangle = L^2$  consiste in due circonferenze contenute in due piani ortogonali all'asse  $\mathbf{e}_3$ , equidistanti dall'origine. [*Suggerimento.* Per  $I_1 = I_2$  l'espressione per  $\rho$  trovata nello svolgimento dell'esercizio 21 diventa

$$\rho^2 = I_1 \frac{2EI_3 - L^2}{I_3 - I_1} = \text{cost.},$$

quindi la proiezione delle due curve sul piano  $(L_1, L_2)$  definisce una circonferenza di raggio  $\rho$ . Inoltre si ha  $L_3^2 = L^2 - L_1^2 - L_2^2 = L^2 - \rho^2$ , quindi  $L_3 = \pm\sqrt{L^2 - \rho^2}$ , i.e. anche  $L_3$  è costante.]

**Esercizio 26.** Sia  $A$  la matrice del sistema lineare ottenuto per linearizzazione del sistema (44.3). Dimostrare che gli autovalori corrispondenti sono dati dalla (44.10).

**Esercizio 27.** Dimostrare le (46.5).

**Esercizio 28.** Verificare che le trasformazioni di coordinate descritte nei paragrafi §46.3 e §46.5 sono trasformazioni regolari. [*Suggerimento.* Verificare che si tratta di trasformazioni differenziabili e la cui matrice jacobiana ha determinante non nullo, e quindi invertibili.]

---

## Bibliografia ragionata

• I testi di riferimento di base, che si sono tenuti principalmente presenti nel corso dell'opera, sono i seguenti:

[1] M. W. Hirsch, S. Smale: *Differential Equations, Dynamical Systems, and Linear Algebra*, Academic Press, New York, 1974. [Hirsch-Smale].

[2] G. Dell'Antonio: *Elementi di Meccanica*, Liguori, Napoli, 1996. [Dell'Antonio].

[3] V.I. Arnol'd: *Metodi Matematici della Meccanica Classica*, Editori Riuniti, Roma, 1979. [Arnol'd2].

Essenzialmente si è seguito [Hirsch-Smale] per i capitoli 1, 2, 3, 4 e 5, [Dell'Antonio] per i capitoli 4, 5, 6 e 7, e [Arnol'd2] per i capitoli 7, 8, 9 e 10, anche se si possono trovare vari riferimenti ai testi citati anche altrove (come sempre indicato nelle note bibliografiche che corredano i vari capitoli).

Notiamo in generale che [Hirsch-Smale] è un libro nel complesso facile da leggere, secondo le linee che sono state seguite anche nel presente testo, anche se talora si possono trovare dimostrazioni o anche solo passaggi assolutamente non banali, in cui, improvvisamente, sono richieste al lettore maggiori applicazione e autonomia di ragionamento. I libri [Arnol'd2] e [Dell'Antonio] sono due testi sicuramente stimolanti ma non di facile lettura per il lettore inesperto che affronti per la prima volta gli argomenti ivi trattati. In particolare [Arnol'd2] è un testo ormai classico e di importanza storica assolutamente fondamentale, che ha dato inizio a un approccio di tipo moderno allo studio della Meccanica Razionale.

• Per alcuni argomenti specifici si sono tenuti presenti anche:

[4] F. John: *Ordinary Differential Equations - Lecture Notes*, Courant Institute of Mathematical Sciences, New York, 1965. [John].

[5] G. Gallavotti: *Meccanica Elementare*, Bollati Boringhieri, Torino, 1980. [Gallavotti].

[6] L.D. Landau, E.M. Lifshitz: *Meccanica*, Editori Riuniti, Roma, 1976. [Landau-

Lifshitz].

[7] T. Levi-Civita, U. Amaldi: *Lezioni di Meccanica Elementare*, Zanichelli, Bologna, 1947. [Levi-Civita-Amaldi].

[8] H. Goldstein: *Classical Mechanics*, Addison-Wesley, Reading, 1980. [Goldstein].

[9] S. Bressan, A. Grioli: *Esercizi di Meccanica Razionale*, Edizioni Libreria Cortina, Padova, 1998. [Bressan-Grioli].

[10] V.I. Arnol'd: *Équations Différentielles Ordinaires*, MIR, Mosca, 1974. [Arnol'd1].

[11] A. Fasano, S. Marmi: *Meccanica Analitica*, Bollati Boringhieri, Torino, 1994. [Fasano-Marmi].

Più precisamente si è fatto a riferimento a [John] nel capitolo 3, a [Gallavotti] nei capitoli 7, 9 e 10, a [Landau-Lifshitz] nei capitoli 9 e 10, a [Goldstein] nel capitolo 7, a [Bressan-Grioli] per alcuni esercizi del capitolo 8, a [Levi-Civita-Amaldi] nei capitoli 9 e 10, a [Fasano-Marmi] nel capitolo 7, a [Arnol'd1] nel capitolo 3. In particolare rimandiamo a [Gallavotti] per un approfondimento di molti degli argomenti trattati nei vari capitoli: è inoltre il libro che maggiormente abbiamo avuto in mente nel desiderio di studiare fino in fondo ogni argomento trattato, senza lasciare salti logici o utilizzare risultati indimostrati nel corso dell'analisi (problema che ogni tanto si presenta *e.g.* in [Arnol'd2]). Il libro [Levi-Civita-Amaldi] è un testo classico, forse un po' datato come impostazione, ma che sicuramente offre moltissimi spunti di riflessione e approfondimento.

Un testo utile per gli esercizi, specie di analisi qualitativa per sistemi planari, sistemi unidimensionali e campi centrali, sfortunatamente non pubblicato, è il seguente:

[12] G. Dell'Antonio, E. Orlandi, A. Teta: *Esercizi di Meccanica Razionale*, SISSA, Trieste. [Dell'Antonio-Orlandi-Teta].

Un altro testo in cui si possono trovare esercizi sui moti unidimensionali è:

[13] A. Celletti: *Esercizi di Meccanica Razionale*, Aracne, 1999.

Alcuni degli esercizi dati nel testo, in particolare nei capitoli 5, 6 e 7, sono presi o ispirati al testo [Dell'Antonio-Orlandi-Teta]. Altri esercizi, anche di stampo diverso, e applicazioni, sugli stessi argomenti, si possono trovare in [Gallavotti].

- Per richiami di Analisi, di Geometria e di Algebra si può consultare qualsiasi testo

sull'argomento. Noi, a titolo puramente indicativo, abbiamo fatto riferimento a:

- [14] E. Giusti: *Analisi Matematica 1*, Bollati Boringhieri, Torino, 1985. [Giusti1].
- [15] E. Giusti: *Analisi Matematica 2*, Bollati Boringhieri, Torino, 1983. [Giusti2].
- [16] S. Lang: *Algebra Lineare*, Bollati Boringhieri, Torino, 1970. [Lang].
- [17] A.G. Kuroš: *Corso di Algebra Superiore*, Editori Riuniti, Roma, 1977. [Kuroš].
- [18] E. Martinelli: *Il metodo delle coordinate*, Veschi, Roma, 1984. [Martinelli].
- [19] E. Sernesi: *Geometria 2*, Bollati Boringhieri, Torino, 1994. [Sernesi].
- [20] M. P. do Carmo: *Differential geometry of curves and surfaces*, Prentice-Hall, Englewood Cliffs, 1976. [do Carmo].
- [21] B. Dubrovin, S. Novikov, V. Fomenko: *Geometria contemporanea*, Editori Riuniti, 1991. [Dubrovin-Novikov-Fomenko].

I riferimenti bibliografici sono sempre stati indicati in dettaglio nelle note bibliografiche in coda ai singoli capitoli.

- Riguardo agli argomenti di carattere più avanzato (teorema della curva di Jordan, proprietà generiche e teoria di Floquet), a cui si è solamente accennato nel testo, abbiamo fatto riferimento ai seguenti testi, rispettivamente per il teorema della curva di Jordan, per la nozione di genericità e per la teoria di Floquet:

- [22] G. N. Watson: *Complex integration and Cauchy's theorem* Cambridge University Press, Cambridge, 1914. [Watson].
- [23] A. Katok, B. Hasselblatt: *Introduction to the modern theory of dynamical systems*, Cambridge University Press, Cambridge, 1995. [Katok-Hasselblatt].
- [24] E.L. Ince: *Ordinary Differential Equations*, Dover Publications, New York, 1944. [Ince].

Si tratta in ogni caso di argomenti al di là del contenuto del testo, e il riferimento è dato solo per motivi di completezza.

Infine diamo un elenco di testi che, pur non essendo stati citati nel corso dell'opera e pur non avendovi fatto riferimento, sono consigliati per un approfondimento di argomenti trattati o per una discussione di altri aspetti della teoria dei sistemi dinamici che non sono stati affrontati in questa sede:

- [25] I. Percival, D. Richards: *Introduction to dynamics*, Cambridge University Press,

Cambridge-New York, 1982.

[26] E.T. Whittaker: *A treatise on the analytical dynamics of particles and rigid bodies. With an introduction to the problem of three bodies*, Cambridge University Press, Cambridge, 1937.

[27] V.I. Arnol'd, A. Avez: *Ergodic problems of classical mechanics*, Benjamin, New York-Amsterdam, 1968.

[28] V.I. Arnol'd, V.V. Kozlov, A.I. Neishtadt: *Mathematical aspects of classical and celestial mechanics*, Encyclopaedia of Mathematical Sciences: Dynamical Systems. III, Springer, Berlin, 1993.

[29] N.N. Krasovskij: *Stability of motion*, Stanford University Press, Stanford, 1963.

[30] D.W. Jordan, P.Smith: *Nonlinear ordinary differential equations*, Clarendon Press, Oxford, 1977.

## Indice analitico



<b>Indice dei nomi</b>			
<b>B</b>		Poinsot	319, 374
Barbašin	148	Poisson	316
Bendixson	161, 190	<b>R</b>	
Bertrand	272	Rolle	97
<b>C</b>		Runge	276
Cauchy	78, 82, 108	<b>S</b>	
Cayley	29	Schwarz	135, 153
Coriolis	292	Steiner	349
<b>D</b>		<b>V</b>	
D'Alembert	326, 331, 335	Volterra	177, 180
Dirichlet	148	<b>W</b>	
<b>E</b>		Weierstrass	80, 162, 185, 197
Eulero	358, 366		
<b>F</b>		<b>Indice delle materie</b>	
Floquet	104	a	
Foucault	295	analisi qualitativa	119
<b>G</b>		anello	352, 353
Gronwall	90	angoli di Eulero	358
<b>H</b>		angolo azimutale	358
Hamilton	29	angolo di nutazione	358
Huygens	349	angolo di precessione	358
<b>J</b>		angolo di rotazione propria	358
Jordan	31, 32, 197	anno platonico	363
<b>K</b>		apocentro	266
Keplero	265	approssimanti di Picard	85
Krasokvskij	148	asse dei nodi	358
Kronecker	3	asse di Mozzi	313
König	321	asse di figura	361
<b>L</b>		asse di moto	313
Lagrange	97, 295, 327	asse di precessione	361
Laplace	276	asse di simmetria di ordine $n$	348, 385
Lebesgue	230, 234, 247	asse di simmetria rotazionale	348, 385
Leibniz	70	asse istantaneo di rotazione	289, 313
Lenz	276	assi d'inerzia	346
Lipschitz	78	asta	351
Ljapunov	121, 145, 195	attrito	140, 181
Lotka	177	autospazio generalizzato	22
<b>M</b>		autovalori	10
Mozzi	313	autovalori complessi coniugati	41
<b>N</b>		autovalori complessi distinti	14
Newton	19, 129, 291, 307, 335	autovalori di un operatore lineare	10
Noether	244, 273	autovalori reali coincidenti	41, 43
<b>P</b>		autovalori reali distinti	10, 11, 39
Picard	85	autovettori	10
Poincaré	161, 190	autovettori di un operatore lineare	10
		azimut	358

b	
bacino d'attrazione	121, 148, 190
base di un sistema di coordinate	308
base di uno spazio vettoriale	2
base ortogonale	17
base ortonormale	17, 237, 279
base per un moto rigido piano	342
base standard	2
binomio di Newton	19
blocco elementare di Jordan	31
c	
campo centrale	238
campo centrale armonico	247, 250, 251
campo centrale coulombiano	247, 250, 257
campo centrale coulombiano attrattivo	261
campo centrale coulombiano repulsivo	261
campo centrale gravitazionale	261
campo centrale kepleriano	261
campo vettoriale	76
centro	41
centro d'inerzia	312, 333
centro di massa	239, 312, 385
centro di rotazione	342
ciclo $\alpha$ -limite	164
ciclo $\omega$ -limite	164
ciclo limite	122, 164, 170
ciclo periodico	180
cilindro	341, 354
classificazione delle precessioni	362
commutatore	6
complessificazione di un operatore lineare	12
complessificazione di uno spazio vettoriale	12
componente rotatoria della velocità di trascina- mento	290
componente traslatoria della velocità di trascinamento	290
componenti di un vettore	7
coni di Poincot	319, 362
conica	260
coniugazione complessa	12
cono	356
continuità delle norme	154
convergenza uniforme	81
coordinata del centro di massa	239
coordinata relativa	239
coordinate	7
coordinate cartesiane	7
coordinate cilindriche	274
coordinate polari	274, 387
coordinate sferiche	240, 274
corollario al teorema del prolungamento	101, 211
corpo rigido	310
costante del moto	121, 155, 170, 173, 199, 378
costante di Lipschitz	78
costante di gravitazione universale	265
curva	39, 175, 234, 387
curva di livello	121, 158, 210
d	
decomplessificazione di uno spazio vettoriale	12
derivata direzionale	274
derivata sostanziale	121
diffeomorfismo	150, 217, 218
diffeomorfismo di classe $C^k$	150
dimensione di uno spazio vettoriale	5
dipendenza continua dai dati iniziali	91, 102
dipendenza dai dati iniziali	90
dipendenza differenziabile dai dati iniziali	93, 109
disco	352
discriminante dell'equazione delle coniche	260
disuguaglianza di Schwarz	135, 153
disuguaglianza triangolare	16
e	
eclettica	363
elemento neutro	115
elemento opposto	115
elemento unità	115
ellisse	251, 257, 261
ellissoide d'inerzia	348
ellissoide di rotazione	348
energia	129, 206
energia cinetica	130, 206, 320
energia cinetica di un sistema rigido	320, 346
energia potenziale	129, 206
energia potenziale armonica	251, 261, 272
energia potenziale centrale	240
energia potenziale coulombiana	272
energia potenziale efficace	242
energia potenziale gravitazionale	265
energia totale	129, 206
equazione delle coniche	260
equazione di Newton	129, 291, 307, 335
equazione differenziale lineare omogenea asso- ciata	71
equazione integrale	82
equazione radiale	243
equazione variazionale del problema di Cauchy	110
equazioni a variabili separabili	105
equazioni di Eulero	366
equazioni di Lotka-Volterra	177
equazioni differenziali lineari di ordine $n$ a coef- ficienti costanti	67
equazioni differenziali lineari non omogenee del primo ordine a coefficienti costanti	69
equazioni differenziali lineari omogenee del pri- mo ordine a coefficienti costanti	35
equazioni differenziali ordinarie	76
equilibrio	121
equinozio di autunno	365

equinozio di primavera	365	insieme di seconda categoria	249
equivalenza delle norme in $\mathbb{R}^n$	120, 135, 154	insieme esterno	158
erpoloide	375	insieme interno	158
esponenziale di un operatore lineare	18	insieme invariante	120
f			
fibrato tangente	119	insieme limite	122, 124, 161, 164
flusso	78, 120	insieme massimale di vettori lineramente indipendenti	4
forma canonica di una conica	261, 263	insieme negativamente invariante	169
forma canonica reale	32, 133	insieme positivamente invariante	155, 169
forma differenziale	336	integrabilità	378
forma differenziale chiusa	336	integrale primo	121, 378
forma differenziale esatta	336	intensità di una forza	239
forma normale di Jordan	32	invertibilità di un operatore lineare	6
formula del binomio di Newton	19	involuzione	12
formule di Poisson	317	iperbole	261, 264
forza	129	isomorfismo tra spazi vettoriali	7
forza apparente	292	l	
forza attiva	324	lamina rettangolare	355
forza centrale	238	legge di composizione di un gruppo	115
forza centrifuga	243, 292	legge di conservazione dell'energia	206, 211
forza complementare	292	leggi cardinali della dinamica per sistemi rigidi	331
forza d'inerzia	292	leggi di Keplero	265
forza di Coriolis	292, 295	leggi di Volterra	180
forza esterna	324	lemma di Gronwall	90
forza inerziale di rotazione	292	linea degli equinozi	365
forza interna	324	linea dei nodi	358
forza vincolare	307	linearizzazione	131
forze attive	343	m	
funzione di Ljapunov	147, 155, 175, 177, 195	maggiorante definitivo	140, 155
funzione lipschitziana	78	massa ridotta	240
funzione lipschitziana in $x$	103	massimo limite	140, 155
funzione localmente lipschitziana	78	matrice a blocchi	10
funzione localmente lipschitziana in $x$	103	matrice antisimmetrica	283, 299
funzioni uniformemente convergenti	81	matrice di cambiamento di base	8
g			
genericità	249	matrice di cambiamento di coordinate	8
gradiente	120, 174	matrice di massa	129, 308
gradiente in coordinate cilindriche	274	matrice in forma canonica di Jordan	31
gradiente in coordinate polari	274	matrice in forma canonica reale	32, 133
gradiente in coordinate sferiche	240, 274	matrice in forma normale di Jordan	31
grado di libertà	205, 237, 239	matrice jacobiana	153, 388
gruppo	75, 115, 120, 277	matrice ortogonale	34, 278
gruppo lineare	277	matrice simmetrica	33, 176
gruppo lineare speciale	277	matrice simmetrica definita positiva	344
gruppo ortogonale	278	matrice unitaria	278
gruppo ortogonale speciale	278	metodo di iterazione di Picard	85
gruppo	299	metodo di variazione delle costanti	71
i			
immagine di un operatore lineare	2, 5	metrica	283, 291, 300
insiema negativamente invariante	120	minimo limite	140, 155
insiema positivamente invariante	120	minorante definitivo	140, 155
insieme $\alpha$ -limite	122, 124	misura di Lebesgue	247
insieme $\omega$ -limite	122, 124	molteplicità algebrica di un autovalore	21
insieme convesso	80	molteplicità di un autovalore	21
insieme delle matrici	6, 277, 299	moltiplicatori di Lagrange	295, 327
		momenti principali d'inerzia	346
		momento angolare	240, 320

momento angolare di un sistema rigido	322, 343	pendolo semplice	181, 295
momento d'inerzia	347	pendolo senza attrito	181
momento della quantità di moto	320	pericentro	266
moto	278	periodo fondamentale	378
moto a spirale	164	periodo	120, 154, 162, 218, 224, 228, 245, 378
moto asintotico	207	polinomio caratteristico	10, 67
moto di un sistema di coordinate	278	polo di precessione	361
moto periodico	228, 245, 270	poloide	375
moto puramente rotatorio	285	pozzo	40, 44
moto puramente traslatorio	282	precessione	358, 361
moto quasiperiodico	245, 378	precessione degli equinozi	365
moto rettilineo uniforme	149, 333	precessione progressiva	362
moto rigido	278	precessione regolare	361, 362
moto rigido piano	342	precessione regolare della Terra	363
		precessione retrograda	362
n		prima forma dell'equazione delle orbite	249
nodo	40	principio dei lavori virtuali	326
nodo improprio	44	principio di d'Alembert	326, 331, 335, 343
nodo proprio	40	problema dei due corpi	237, 238
non unicità della soluzione per campi vettoriali		problema di Cauchy	78, 82, 108
non lipschitziani	87	prodotto hermitiano	16
norma	16, 154	prodotto scalare	16, 120, 154, 237, 279
norma euclidea	17	prodotto scalare definito positivo	16
norma euclidea standard	17	prodotto scalare non degenero	16
norma uniforme	17	prodotto scalare standard	17
norme equivalenti	120	prodotto vettoriale	237, 279, 282
nucleo di un operatore lineare	2, 5	prolungamento di una soluzione	96
numero di gradi di libertà	205	prolungamento massimale di una soluzione	97
nutazione	358	proprietà degli ellissoidi d'inerzia	348
		proprietà degli esponenziali di operatori lineari	18
o		proprietà degli insiemi $\omega$ -limite	124
operatore antisimmetrico	282	proprietà degli insiemi limite	124
operatore d'inerzia (di un punto)	344	proprietà dei sistemi gradiente	175
operatore d'inerzia (di un sistema rigido)	346	proprietà delle curve di livello per sistemi unidi	
operatore diagonale	10	mensionali	215
operatore diagonalizzabile	10, 21, 27	proprietà generica	249
operatore lineare	2	punti antipodali	367
operatore lineare invertibile	6	punto critico	121
operatore lineare nilpotente	21	punto d'equilibrio	121, 169, 170
operatore nilpotente	27, 30	punto d'equilibrio asintoticamente stabile	
operatore non diagonalizzabile	21	121, 146, 148, 170	
operatore semisemplice	14, 30	punto d'equilibrio attrattivo	121
operatore simmetrico	21, 33, 346	punto d'equilibrio instabile	121, 147
operatore simmetrico definito positivo	385	punto d'equilibrio stabile	121, 145, 155
operatore velocità angolare	286	punto d'inversione	207, 223
orbita	77	punto di sella	40
orbita chiusa	154, 169, 178, 245, 250	punto regolare	174
orientazione	278, 283, 288, 291, 300		
oscillatore smorzato	68	q	
		quantità di moto	320
p		quantità di moto di un sistema rigido	322, 343
parabola	261, 263	r	
parte nilpotente di un operatore lineare	31	reazione vincolare	307
parte semisemplice di un operatore lineare	31	regola di Leibniz	70
pendolo	181	restrizione di un operatore lineare a un sotto-	
pendolo con attrito	189	spazio vettoriale	13
pendolo di Foucault	295		
pendolo matematico	181		

restrizione	24, 78	soluzione di un sistema lineare del primo ordine	45
retta reale ampliata	141	soluzione di un'equazione differenziale ordinaria	36
riflessione	300	lineare	36
rigata	318	soluzione di un'equazione differenziale ordinaria	77
rigata fissa	317, 341	soluzione globale	36, 95, 211
rigata mobile	317, 341	soluzione locale	75
rotazione	278	soluzione massimale	77, 96
rotazione di trascinamento	285	soluzione particolare di un'equazione differen-	71
rotazione stazionaria di un sistema rigido	366	ziale lineare	71
rotazione uniforme	285	soluzione periodica	218, 224
rotazione	299, 341	somma diretta di operatori lineari	9
rotolamento senza strisciamento	307, 318, 337	somma diretta di spazi vettoriali	9
rulletta per un moto rigido piano	342	sorgente	40, 44
s			
seconda forma dell'equazione delle orbite	250	sottospazio invariante	9
separatrice	223	sottospazio vettoriale	2
sezione locale	120, 157, 160	spazi vettoriali isomorfi	7
sfera	354	spazio delle configurazioni	205, 310
simbolo di Kronecker	3	spazio delle fasi	120, 209
sistema a un grado di libertà	205	spazio euclideo	17, 238
sistema autonomo di equazioni differenziali or-	77	spazio normato	17
dinarie	77	spazio posizione-velocità	209
sistema di coordinate adattato	309	spazio tangente	119
sistema di coordinate fisso	278	spazio vettoriale	1
sistema di coordinate mobile	278	spazio vettoriale complesso	1
sistema di coordinate	7, 278, 283	spazio vettoriale proprio	2
sistema di equazioni differenziali lineari non o-	69	spazio vettoriale reale	1
mogenee del primo ordine a coefficienti co-	69	spettro di un operatore lineare	10
stanti	69	stabilità	121
sistema di equazioni differenziali lineari omoge-	35	stabilità asintotica	121
nee del primo ordine a coefficienti costanti	35	stabilità secondo Ljapunov	121
sistema di equazioni differenziali ordinarie	76	stima del bacino d'attrazione	148, 190
sistema di equazioni differenziali ordinarie del	77	stima del periodo	230
primo ordine	77	successione di funzioni uniformemente conver-	81
sistema di equazioni differenziali ordinarie in for-	76	gente	81
ma normale	76	successione di punti monotona lungo una curva	158
sistema di riferimento	278	successione di punti monotona lungo una sezione	158
sistema dinamico	75, 119	locale	158
sistema dinamico linearizzato	131	superficie di livello	121, 174
sistema fisso	277	superficie di vincolo	308
sistema gradiente	174	superficie	385
sistema integrabile	378	t	
sistema meccanico conservativo	129, 155	tempo di attraversamento di una sezione locale	151
sistema meccanico	129, 205	tempo di percorrenza	211, 224
sistema mobile	277	teorema del prolungamento	101, 211
sistema non autonomo di equazioni differenziali	77	teorema del valor medio	97
ordinarie	77	teorema dell'intorno tubolare	150
sistema planare	157	teorema della curva di Jordan	158, 197
sistema planare lineare	38	teorema della funzione implicita	151, 153, 156, 159, 308
sistema preda-predatore	177	teorema della scatola di flusso	150
sistema rigido	310	teorema di Barbašin-Krasovskij	148
sistema rigido con un punto fisso	311, 343	teorema di Bertrand	272
sistema rigido non soggetto a forze	343	teorema di Cayley-Hamilton	29
sistema unidimensionale	205, 380		
solido	310		

teorema di Coriolis	292	velocità rotatoria di trascinamento	290
teorema di Dirichlet	148	vettore	1, 237
teorema di Huygens-Steiner	349	vettore di Laplace-Runge-Lenz	276
teorema di König	321	vettore di Runge-Lenz	276
teorema di Lagrange	97	vettore tangente a una superficie	175
teorema di Ljapunov	145, 147	vettore velocità angolare	286
teorema di Noether	244, 273	vettori che generano uno spazio vettoriale	2
teorema di Poincaré-Bendixson	161, 190	vettori linearmente indipendenti	2
teorema di Poinsot	374	vincoli di rigidità	310, 343
teorema di Rolle	97	vincoli indipendenti	307
teorema di Weierstrass	80, 162, 185, 197	vincoli regolari	307
teorema di continuità del limite per successioni di funzioni uniformemente convergenti	81	vincoli regolari e indipendenti	307
teorema di convergenza dominata di Lebesgue	230, 234	vincoli rigidi	310, 330
teorema di decomposizione primaria	26	vincolo	306
teorema di derivazione sotto il segno di serie	36	vincolo anolonomo	307, 334
teorema di dipendenza continua da parametri	109	vincolo anolonomo bilatero	334
teorema di dipendenza continua dai dati iniziali	91, 102	vincolo bilatero	306
teorema di dipendenza differenziabile dai dati iniziali	93, 109	vincolo di mobilità	334
teorema di esistenza	82	vincolo ideale	326
teorema di esistenza di un prolungamento massimale	97	vincolo integrabile	336
teorema di esistenza e unicità	87, 108, 206	vincolo non integrabile	336
teorema di esistenza e unicità per sistemi non autonomi	103	vincolo olonomo	306
teorema di passaggio al limite sotto il segno d'integrale per successioni di funzioni uniformemente convergenti	81	vincolo olonomo bilatero	307, 326
teorema di rettificazione	150	vincolo perfetto	326
teorema di unicità	86	vincolo propriamente anolonomo	336
teorema fondamentale dell'algebra	10, 33		
teoria di Floquet	104		
terzo principio della dinamica	238		
traiettoria	77		
traiettoria asintotica	207		
traiettoria eteroclina	223		
traiettoria omoclina	223		
traiettoria periodica	120, 154, 162, 171, 178, 217, 245		
traiettoria virtuale	309, 326, 334		
traiettoria virtuale per vincoli di mobilità	334		
traiettoria virtuale per vincoli olonomi bilateri	309		
trasformazione rigida	278, 300		
traslazione	278		
v			
valore critico	215		
varietà differenziabile	119, 154		
velocità angolare	285, 286		
velocità assoluta	290		
velocità di trascinamento	290		
velocità istantanea	290		
velocità relativa	290		